





# 1. Ներածություն

Աշխատանքը նվիրված է քառակուսային ցանցում կմախքային ծառերի և ցիկլերի քանակի հետազոտմանը: Աշխատանքը բաղկացած է ներածությունից, 4 մասերից և գրականությունից, պարունակում է 24 նկար: Երկրորդ մասը բաղկացած է երկու ենթամասից: Ենթամասերում տրվում են քառակուսային ցանցի սահմանումը և նրա պարզագույն հատկությունները: Երրորդ մասը բաղկացած է չորս ենթամասից: Առաջին ենթամասում տրվում են հետևյալ պնդումները ցանցի կմախքային ծառերի քանակի համար.

$$s_2(n) = \frac{\sqrt{3}}{6}((2+\sqrt{3})^n - (2-\sqrt{3})^n):$$

$$s_3(n) \approx 0.09759(12.543754^n + 0.079721^n - 1.830109^n - 0.546416^n):$$

$$s_m(n) < \frac{e}{nm} 4^{nm-1}$$

Երկրորդ ենթամասում հետազոտվում է ցանցի համիլտոնյան ցիկլերի մետրիկական բնութագրերը: Երկու ցիկլերի տարբերվող կողերի քանակը հանդիսանում է հեռավորություն տվյալ ցանցի համիլտոնյան ցիկլերի բազմության մեջ: Ցանցի համիլտոնյան ցիկլերի մինիմալ հեռավորության համար տրվում են հետևյալ պնդումները.

$$d_{\min}(3, 2n) = 6(n-1), d_{\min}(5, 4n+4) = 6n+10, d_{\min}(5, 4n+6) = 6n+14,$$

$$d_{\min}(4m, 4n) = 4mn+4, d_{\min}(4m, 4n+1) = 4mn+2m+4:$$

$$d_{\min}(4m, 4n+2) = 4mn+3m+4, d_{\min}(4m, 4n+3) = 4mn+5m+4:$$

Երրորդ ենթամասում տրվում են հետևյալ պնդումները ցանցի համիլտոնյան ցիկլերի քանակի համար.

$$h_3(n) = 2^{n/2-1}, h_4(n) \approx 0.346124(2.538616)^{n-1} - 0.148311(-1.276209)^{n-1}:$$

$$h_5(n) \approx 0.115148(11.01648)^{n-1}: nm h_m(n) < s_m(n) < h_{2m}(2n):$$

Չորրորդ ենթամասում հետազոտվում է ցիկլերի սիմետրիկությունը: Տրվում են լեմաներ ցանցում հորիզոնական, ուղղահայաց, կենտրոնական սիմետրիկ և ուղղահայաց ցիկլերի գոյության համար:  $n \times 2$  ցանցի ոչ սիմետրիկ ցիկլերի համար.

$$\hat{h}_3(n) = \begin{cases} (2^{n/2-1} + 2^{\lfloor n/4 \rfloor + 1})/4, & \text{երբ } 3n/2 \text{ կենստ է,} \\ (2^{n/2-1} + 2^{\lfloor n/4 \rfloor})/4, & \text{հ. դ.:} \end{cases}$$

Չորրորդ մասում տրվում է ստացված արդյունքների կիրառությունները: Ցանցում համիլտոնյան ցիկլերի քանակը լայն կիրառում ունի ֆիզիկայի պոլիմերներում:

Հինգերորդ մասը բաղկացած է երեք ենթամասից: Ենթամասերում տրվում են համապատասխանաբար՝ ալգորիթմներ կմախքային ծառերի և համիլտոնյան ցիկլերի հաշվման համար, ծրագրով ստացված մաքսիմալ արդյունքներ և ծրագիր:

Աշխատանքի ընթացքում օգտագործված են գրքեր, հոդվածներ և ինտերնետային սայթեր, որոնք ներկայացված են գրականությունում:

## 2. Քառակուսային ցանց, հիմնական սահմանումներ և հատկություններ

### 2.1. Համիլտոնյան, կիսահամիլտոնյան գրաֆ, կմախքային ծառ, արտադրյալ գրաֆ

Դիտարկենք այս աշխատանքում օգտագործվող գրաֆների տեսության հիմնական սահմանումները: Դիցուք  $G = (V, E)$  գրաֆ է, որտեղ  $V$  - ն գրաֆի գագաթների բազմությունն է, իսկ  $E$  - ն՝ կողերի: Այդ գրաֆը կնշանակենք նաև  $G = (V(G), E(G))$  [2, 6, 9, 10]:

$G$  գրաֆում կդիտարկենք համիլտոնյան շղթաներ, համիլտոնյան ցիկլեր և կմախքային ծառեր:

Դիցուք  $G$  - ն կապակցված գրաֆ է: Այդ գրաֆում համիլտոնյան շղթա է հանդիսանում այն պարզ շղթան, որն անցնում է գրաֆի յուրաքանչյուր գագաթով և համիլտոնյան ցիկլ է կոչվում այն պարզ ցիկլը, որն անցնում է գրաֆի յուրաքանչյուր գագաթով: Գրաֆը կոչվում է համիլտոնյան, եթե նա պարունակում է համիլտոնյան ցիկլ և՛ կիսահամիլտոնյան, եթե նա համիլտոնյան ցիկլ չի պարունակում, բայց պարունակում է համիլտոնյան շղթա:

$G$  գրաֆի ենթագրաֆը կոչվում է կմախքային, եթե նա պարունակում է  $G$  գրաֆի բոլոր գագաթները: Պարզ է, որ համիլտոնյան շղթան և համիլտոնյան ցիկլը ներկայացնում են իրենցից կմախքային ենթագրաֆներ:

$G$  գրաֆի այն կմախքային ենթագրաֆը, որը հանդիսանում է ծառ, կոչվում է կմախքային ծառ:

$P_n$  - ով նշանակենք  $n$  գագաթ պարունակող պարզ շղթան:

Դիտարկենք  $P_n = (V, E)$  պարզ շղթան, որտեղ  $V = \{v_1, v_2, \dots, v_n\}$ , իսկ  $E = \{\{v_i, v_{i+1}\} / v_i \in V, i = 1, 2, \dots, n-1\}$ : Պարզ շղթան գրաֆ է, որի բոլոր գագաթները և կողերը կարելի է պատկերել մի ուղղի վրա: Հետագայում հենց այդպես էլ կանենք.  $P_n$  - ի  $v_i$ -րդ գագաթը նշանակելու ենք  $i$ -ով և համապատասխանեցնելու ենք ուղղի վրա հավասարահեռ դասավորված  $n$  կետերից  $i$  - րդը: Իսկ  $x = \{v_i, v_{i+1}\}$  կողը պատկերելու ենք  $i, i+1$  հատվածով: Այսպես, օրինակ, նկ. 2.1 - ում պատկերված է  $P_5$  պարզ շղթան.

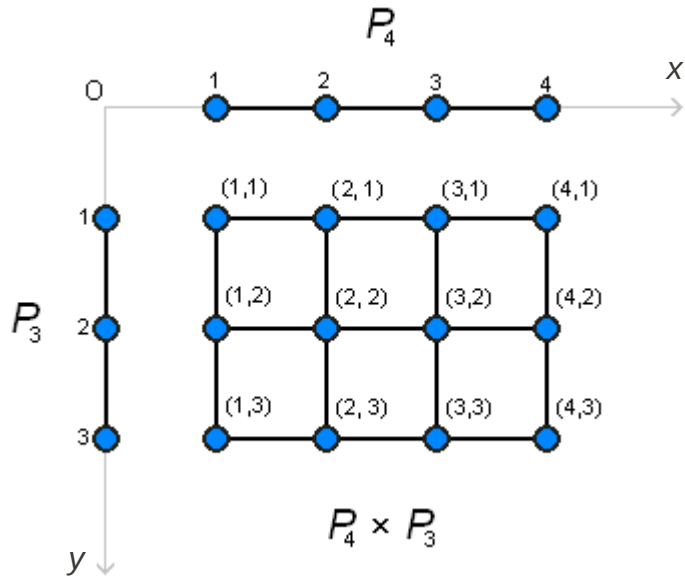


Նկ. 2.1

Դիցուք ունենք  $P_n$  և  $P_m$  պարզ շղթաները: Դիտարկենք  $T_{n,m} = P_n \times P_m$  արտադրյալ գրաֆը:  $T_{n,m}$  գրաֆի գագաթների բազմությունը հանդիսանում է  $V(P_n)$  և  $V(P_m)$  բազմությունների դեկարտյան արտադրյալը, այսինքն այդ գրաֆի գագաթները  $(v, \mu)$  կարգավոր զույգեր են, որտեղ  $v$  - ն առաջին բաղադրիչի գագաթն է,  $\mu$  - ն՝ երկրորդի:  $(v, \mu)$  և  $(v', \mu')$  գագաթները կից են այն և միայն այն դեպքում, երբ

$$|v - v'| + |\mu - \mu'| = 1;$$

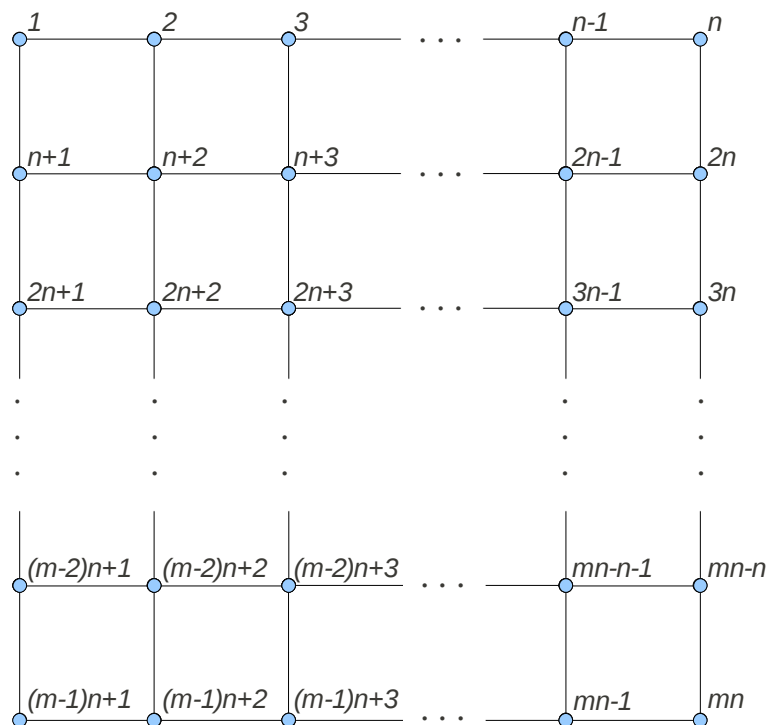
$v, v' = 1, 2, \dots, n, \mu, \mu' = 1, 2, \dots, m:$  (Նկ. 2.2):



Նկ. 2.2

## 2.2. Զանց, տրման եղանակները և պարզագույն հատկությունները

$T_{n,m} = P_n \times P_m$  արտադրյալ գրաֆը կանվանենք  $n \times m$  քառակուսային ցանց: Ակնհայտ է, որ քառակուսային ցանցի գագաթների քանակը  $nm$  է, իսկ կողերինը՝  $n(m-1) + m(n-1) = 2nm - n - m$ :  $T_{n,m}$  ցանցը պատկերելու ենք հարթության վրա քառակուսային ցանցի միջոցով: Համարակալենք ցանցի գագաթները հետևյալ եղանակով:  $(v, \mu)$  գագաթի համարն է  $\varphi(v, \mu) = (\mu - 1)n + v$ ,  $v = 1, 2, \dots, n, \mu = 1, 2, \dots, m$ : (Նկ. 2.3):



Նկ. 2.3

$m$  թիվը կանվանենք ցանցի լայնություն, իսկ  $n$  - ը՝ երկարություն:  $T_{n,m}$  ցանցը կանվանենք քառակուսի, եթե  $m = n$ :

Որոշ դեպքերում հարմար է ցանցերը նկարագրել կցուղայունների մատրիցի միջոցով:

$$\alpha_{i,j} = \begin{cases} 1, \text{ եթե } |i-j| = 1 \text{ կամ } |i-j| = n \\ 0, \text{ հակառակ դեպքում} \end{cases}$$

$i, j = 1, 2, \dots, mn$ : Նկ.2.4 - ում պատկերված է  $T_{m,n}$  ցանցի հարևանության մատրիցը:

	1	2	3	...	n-1	n	n+1	n+2	n+3	...	2n-1	2n	2n+1	2n+2	2n+3	...	3n-1	3n	...	mn-n+1	mn-n+2	mn-n+3	...	mn-1	mn
1	0	1	0	...	0	0	1	0	0	...	0	0	0	0	0	...	0	0	...	0	0	0	...	0	0
2	1	0	1	...	0	0	0	1	0	...	0	0	0	0	0	...	0	0	...	0	0	0	...	0	0
3	0	1	0	...	0	0	0	0	1	...	0	0	0	0	0	...	0	0	...	0	0	0	...	0	0
...	...	...	...	...	...	...	...	...	...	...	...	...	...	...	...	...	...	...	...	...	...	...	...	...	...
n-1	0	0	0	...	0	1	0	0	0	...	1	0	0	0	0	...	0	0	...	0	0	0	...	0	0
n	0	0	0	...	1	0	0	0	0	...	0	1	0	0	0	...	0	0	...	0	0	0	...	0	0
n+1	1	0	0	...	0	0	0	1	0	...	0	0	1	0	0	...	0	0	...	0	0	0	...	0	0
n+2	0	1	0	...	0	0	1	0	1	...	0	0	0	1	0	...	0	0	...	0	0	0	...	0	0
n+3	0	0	1	...	0	0	0	1	0	...	0	0	0	0	1	...	0	0	...	0	0	0	...	0	0
...	...	...	...	...	...	...	...	...	...	...	...	...	...	...	...	...	...	...	...	...	...	...	...	...	...
2n-1	0	0	0	...	1	0	0	0	0	...	0	1	0	0	0	...	1	0	...	0	0	0	...	0	0
2n	0	0	0	...	0	1	0	0	0	...	1	0	0	0	0	...	0	1	...	0	0	0	...	0	0
2n+1	0	0	0	...	0	0	1	0	0	...	0	0	0	1	0	...	0	0	...	0	0	0	...	0	0
2n+2	0	0	0	...	0	0	0	1	0	...	0	0	1	0	1	...	0	0	...	0	0	0	...	0	0
2n+3	0	0	0	...	0	0	0	0	1	...	0	0	0	1	0	...	0	0	...	0	0	0	...	0	0
...	...	...	...	...	...	...	...	...	...	...	...	...	...	...	...	...	...	...	...	...	...	...	...	...	...
3n-1	0	0	0	...	0	0	0	0	0	...	1	0	0	0	0	...	0	1	...	0	0	0	...	0	0
3n	0	0	0	...	0	0	0	0	0	...	0	1	0	0	0	...	1	0	...	0	0	0	...	0	0
...	...	...	...	...	...	...	...	...	...	...	...	...	...	...	...	...	...	...	...	...	...	...	...	...	...
mn-n+1	0	0	0	...	0	0	0	0	0	...	0	0	0	0	0	...	0	0	...	0	1	0	...	0	0
mn-n+2	0	0	0	...	0	0	0	0	0	...	0	0	0	0	0	...	0	0	...	1	0	1	...	0	0
mn-n+3	0	0	0	...	0	0	0	0	0	...	0	0	0	0	0	...	0	0	...	0	1	0	...	0	0
...	...	...	...	...	...	...	...	...	...	...	...	...	...	...	...	...	...	...	...	...	...	...	...	...	...
mn-1	0	0	0	...	0	0	0	0	0	...	0	0	0	0	0	...	0	0	...	0	0	0	...	0	1
mn	0	0	0	...	0	0	0	0	0	...	0	0	0	0	0	...	0	0	...	0	0	0	...	1	0

Նկ. 2.4

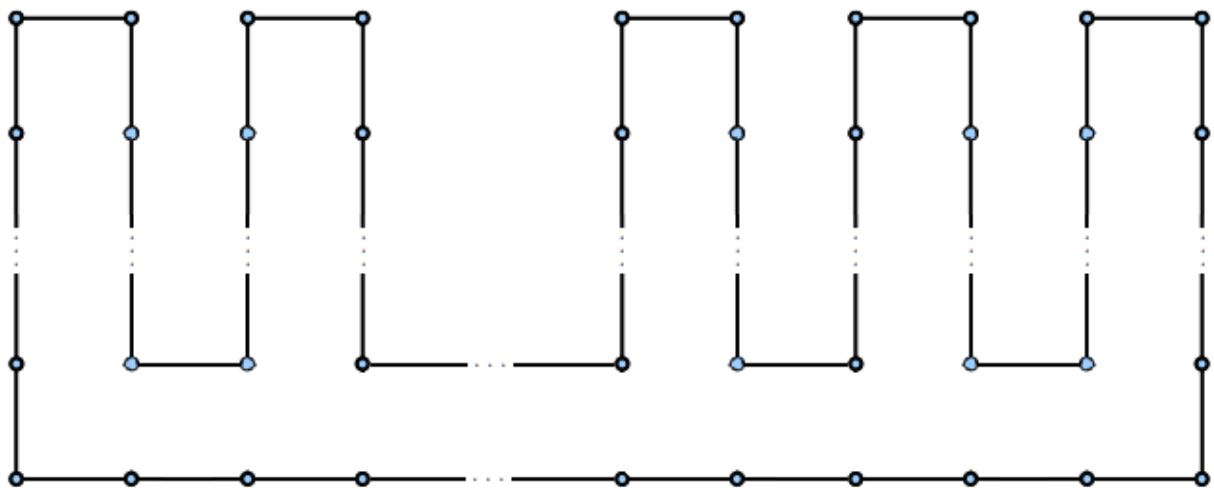
Այսուհետ կդիտարկենք միայն այնպիսի ցանցեր, որոնց համար  $n > 1$ ,  $m > 1$ , և հաճախ չենք նշի այդ պայմանը: Պարզ է, որ  $T_{n,m}$  ցանցում 2 աստիճան ունեցող գագաթները 4 - ն են, կանվանենք *անկյունային գագաթներ*, 3 աստիճան ունեցողները՝  $2(n - 2 + m - 2)$ , կանվանենք եզրային գագաթներ և 4 աստիճան ունեցողները՝  $(n - 2)(m - 2)$ , կանվանենք ներքին գագաթներ:

Դժվար չէ նկատել, որ քառակուսային ցանցը հանդիսանում է երկկողմանի գրաֆ, հետևաբար ցանցի ցանկացած ցիկլի երկարությունը կլինի զույգ:

**Լեմմա 1:**  $T_{n,m}$  ցանցը համիլտոնյան է այն և միայն այն դեպքում, երբ նրա գագաթների քանակը զույգ է:

⇒ *Անհրաժեշտությունը.* Ենթադրենք ցանցը համիլտոնյան է, հետևաբար ցանցում գոյություն ունի համիլտոնյան ցիկլ: Ցանցի գագաթների քանակը  $nm$  հատ է, ուստի, և համիլտոնյան ցիկլի երկարությունը ևս կլինի  $nm$ : Քանի որ ցանցի ցանկացած ցիկլի, այդ թվում և համիլտոնյան ցիկլի երկարությունը զույգ է՝ ցանցի գագաթների քանակը կլինի զույգ:

*Բավարարությունը.* Ենթադրենք ցանցի գագաթների քանակը զույգ է: Տույց տանք, որ ցանցը պարունակում է համիլտոնյան ցիկլ: Ցանցի գագաթների քանակը  $nm$  է, այսինքն  $n, m$  - ից գոնե մեկը զույգ է: Առանց ընդհանրությունը խախտելու կարող ենք ենթադրել, որ  $n$  - ն է զույգ: Նկ.2.5 - ում պատկերված է որևիցե համիլտոնյան ցիկլ: ⇐



Նկ. 2.5

### 3. Ցանցի կմախքային ծառերի և կմախքային ցիկլերի հատկությունները

#### 3.1. Ցանցի կմախքային ծառերի քանակը

Պարզ է, որ ցանցում միշտ գոյություն ունի կմախքային ծառ, քանի որ ցանցը կապակցված է:  $T_{n,m}$  ցանցի կմախքային ծառերի քանակը նշանակենք  $s_m(n)$  - ով: Ընդհանուր դեպքում ցանկացած գրաֆում, ինչպես նաև ցանցում կմախքային ծառերի քանակը կարող ենք հաշվել ըստ Կիրիսիորֆի թեորեմի: Դիտարկենք Կիրիսիորֆի մատրիցը.

$$M(G) = B(G) - A(G),$$

որտեղ  $A(G)$  - ն գրաֆի կցությունների մատրիցն է:  $B(G)$  մատրիցի գլխավոր անկյունագծի վրա գրաֆի գագաթների աստիճաններն են, իսկ մնացած տարրերը 0 են:

Կիրիսիորֆի թեորեմ:  $M(G)$  մատրիցի բոլոր հանրահաշվական լրացումները իրար հավասար են և նրանց արժեքը  $G = (V, E)$  գրաֆի կմախքային ծառերի քանակն է:

Պարզ է, որ  $s_m(n) = s_n(m)$ ,  $s_1(n) = 1$ :

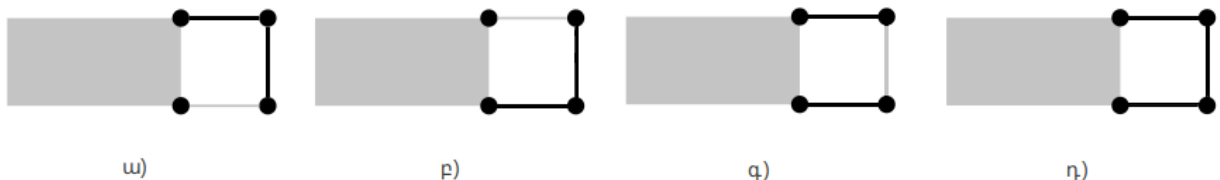
Պնդում 3.1:  $s_2(n) = 4s_2(n-1) - s_2(n-2)$ ,

$n = 2, 3, \dots$ , որտեղ  $s_2(0) = 0$ ,  $s_2(1) = 1$ :

$\Rightarrow T_{n-1,2}$  - ի կմախքային ծառից  $T_{n,2}$  - ի կմախքային ծառ կարող ենք ստանալ 4 եղանակով (Նկ. 3.1):  $T_{n,2}$  - ի ա), բ), գ), դ) տեսքով վերջացող կմախքային ծառերի քանակը նշանակենք համապատասխանաբար  $f_1(n)$ ,  $f_2(n)$ ,  $f_3(n)$ ,  $f_4(n)$ : Պարզ է, որ.

$$s_2(n) = f_1(n) + f_2(n) + f_3(n) + f_4(n),$$

$$f_1(n) = f_2(n) = f_3(n) = s_2(n-1):$$



Նկ. 3.1



Եթե  $T_{n-1,2}$  - ի կմախքային ծառը վերջանում է ա), բ), դ) տեսքով, ապա կհեռացնենք նրա աջ եզրային կողը և կավելացնենք դ) տեսքով կստանանք  $T_{n,2}$  - ի կմախքային ծառ: Իսկ եթե  $T_{n-1,2}$  - ի կմախքային ծառը վերջանում է գ) տեսքով՝ դ) տեսքով չենք շարունակի կառուցել: Պարզ է, որ նման ձևով կստանանք  $T_{n,2}$  - ի բոլոր կմախքային ծառերը, որոնք վերջանում են դ) տեսքով:

$$f_4(n) = f_1(n-1) + f_2(n-1) + f_4(n-1) = s_2(n-1) - f_3(n-1) = s_2(n-1) - s_2(n-2):$$

$$s_2(n) = f_1(n) + f_2(n) + f_3(n) + f_4(n) = 4 s_2(n-1) - s_2(n-2): \Leftarrow$$

Գտնենք  $s_2(n)$  - ի ստացված անդրադարձ առնչությանը բավարարող  $s_2(n) = \lambda^n$  ( $\lambda \neq 0$ ) տեսքի հաջորդականությունը, այդ դեպքում.

$$\begin{aligned} \lambda^n &= 4\lambda^{n-1} - \lambda^{n-2}, \quad n = 2, 3, \dots, \\ \lambda^2 - 4\lambda + 1 &= 0: \end{aligned}$$

Հավասարման լուծումներն են  $\lambda_1 = 2 + \sqrt{3}$ ,  $\lambda_2 = 2 - \sqrt{3}$ , հետևաբար  $c_1 \lambda_1^n + c_2 \lambda_2^n$ ,  $n = 0, 1, 2, \dots$  հաջորդականությունը ցանկացած  $c_1$  և  $c_2$  թվերի համար բավարարում է անդրադարձ առնչությանը: Ընտրենք այդ թվերն այնպես, որ բավարվեն սկզբնական արժեքները.

$$\begin{cases} c_1 + c_2 = 0, \\ c_1 \lambda_1 + c_2 \lambda_2 = 1, \end{cases} \quad \text{լուծելով ստանում ենք} \quad c_1 = \frac{\sqrt{3}}{6}, \quad c_2 = -\frac{\sqrt{3}}{6}:$$

Հետևաբար.

$$s_2(n) = \frac{\sqrt{3}}{6} ((2 + \sqrt{3})^n - (2 - \sqrt{3})^n):$$

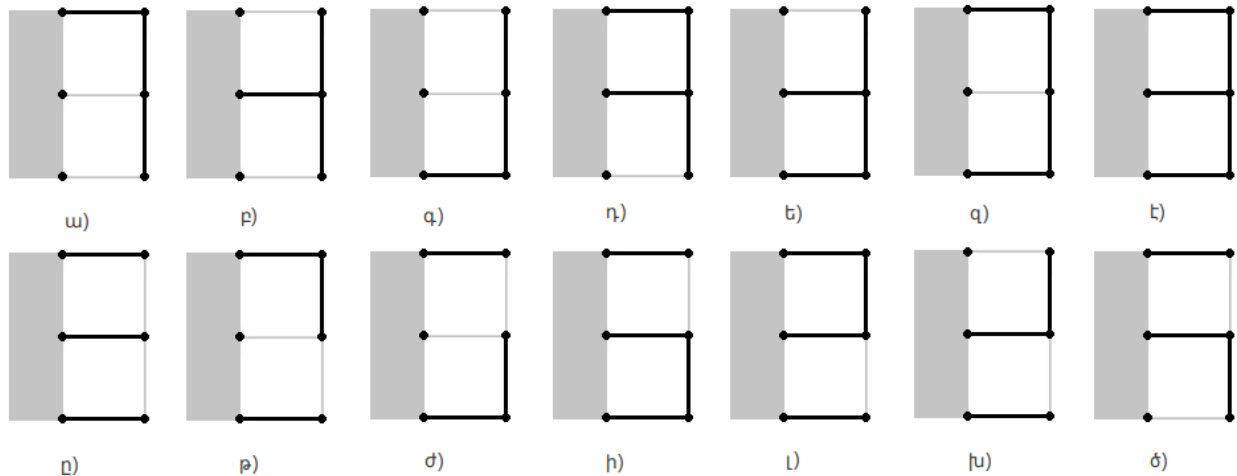
Պնդում 3.2:  $s_3(n) = 15 s_3(n-1) - 32 s_3(n-2) + 15 s_3(n-3) - s_3(n-4)$ ,  
 $n = 4, 5, \dots$ , որտեղ  $s_2(0) = 0$ ,  $s_2(1) = 1$ ,  $s_2(2) = 15$ ,  $s_2(3) = 192$ :

$\Rightarrow T_{n-1,3}$  - ի կմախքային ծառից  $T_{n,3}$  - ի կմախքային ծառ կարող ենք ստանալ 14 եղանակով (Նկ. 3.2):  $T_{n,3}$  - ի ա), բ), գ), ..., խ), ծ) տեսքով վերջացող կմախքային ծառերի քանակը նշանակենք համապատասխանաբար  $f_1(n)$ ,  $f_2(n)$ ,  $f_3(n)$ , ...,  $f_{13}(n)$ ,  $f_{14}(n)$ : Պարզ է, որ.

$$f_1(n) = f_2(n) = f_3(n) = f_8(n) = f_9(n) = f_{10}(n) = f_{13}(n) = f_{14}(n) = s_3(n-1),$$

$$f_4(n) = f_5(n) = f_{11}(n) = f_{12}(n),$$

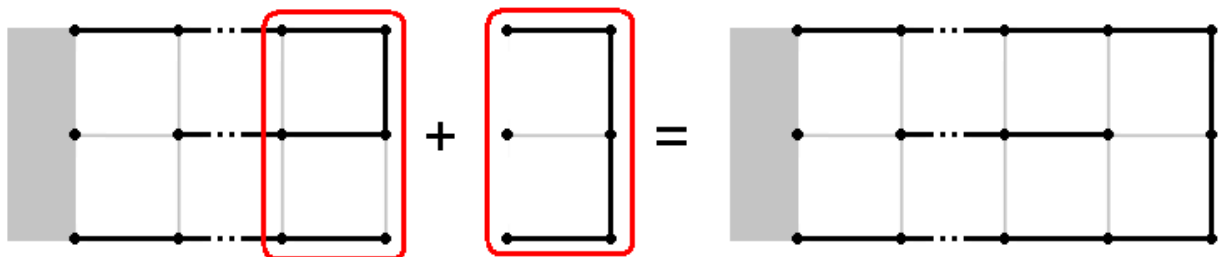
$$s_3(n) = f_1(n) + f_2(n) + f_3(n) + \dots + f_{13}(n) + f_{14}(n) = 8 s_3(n-1) + 4 f_4(n) + f_6(n) + f_7(n):$$



Նկ. 3.2

$T_{n-1,3}$  - ի կմախքային ծառին նման տեսքեր ավելացնելիս հնարավոր է, որ  $T_{n,3}$  ցանցում առաջանան այնպիսի ցիկլեր, որոնցից գոնե մեկը չի անցնի  $T_{n-1,3}$  - ի աջ եզրային կողերով, այդպիսի դեպքերը հաշվի չենք առնի, իսկ եթե առաջանան ցիկլեր կամ ցիկլ, որոնք անցնում են աջ եզրային կողերով, պարզապես կհեռացնենք այդ կողերը, կարող է լինել 2 դեպք եզրային կողերի հեռացնելիս, որոնք երկուսն էլ հաշվի կառնենք, օր. ա) տիպի շղթային հաջորդի գ) տիպի շղթան: Այն դեպքում, երբ առաջացած ցիկլը բացի աջ եզրային կողից կանցնի  $T_{n-1,3}$  - ի ցանցի այլ կողերով, եզրային կողը հեռացնելիս հնարավոր է լինեն 2 վատ դեպքեր.

1. կրկնվող դեպքեր(օր. ժ)դ) և թ)դ) այդպիսի դեպքերը չենք հաշվի),
2. ստացված պատկերը չլինի ծառ(օր. լ)զ) - ի այն դեպքը, երբ  $T_{n-1,3}$  - ի ցանցի ծառը աջ կողմի վերին և ստորին անկյունային գագաթները կմիացնի առանց աջ եզրային կողերով, նկ.3.3, այդպիսի դեպքերը ևս հաշվի չենք առնի)



Նկ. 3.3

Արդյունքում կստանանք.

$$\begin{aligned}
 f_4(n) &= f_1(n-1) + f_2(n-1) + f_3(n-1) + f_4(n-1) + f_5(n-1) + f_6(n-1) + f_7(n-1) + f_9(n-1) + \\
 &\quad f_{12}(n-1) + f_{13}(n-1) = s_4(n-1) - 3s_4(n-2) - f_4(n-1), \\
 f_6(n) &= 2f_1(n-1) + 2f_2(n-1) + 2f_3(n-1) + 2f_4(n-1) + 2f_5(n-1) + 2f_6(n-1) + 2f_7(n-1) \\
 &\quad + (f_{11}(n-1) - s_4(n-3) - s_4(n-4) - \dots - s_4(1)) + (f_{12}(n-1) - s_4(n-3) - s_4(n-4) - \dots - s_4(1)) \\
 &\quad + f_{13}(n-1) + f_{14}(n-1) = 2f_4(n) - 2(s_4(n-2) + s_4(n-3) + \dots + s_4(1)), \\
 f_7(n) &= f_1(n-1) + f_2(n-1) + f_3(n-1) + f_4(n-1) + f_5(n-1) + f_6(n-1) + f_7(n-1) = \\
 &= 2f_4(n) - s_4(n-1) + s_4(n-2):
 \end{aligned}$$

Տեղադրելով ստացված արդյունքները  $s_3(n)$  - ում և պարզեցնելով, կստանանք.

$$\begin{aligned}
 8f_4(n) &= s_3(n) - 7s_3(n-1) + s_3(n-2) + 2(s_4(n-3) + s_4(n-4) + \dots + s_4(1)): \\
 \text{Քանի որ } f_4(n) &= s_4(n-1) - 3s_4(n-2) - f_4(n-1), \text{ հետևաբար.} \\
 s_3(n) &= 14s_3(n-1) - 18s_3(n-2) - 3s_3(n-3) - 4(s_4(n-4) + s_4(n-5) + \dots + s_4(1)) = \\
 &= 15s_3(n-1) - 32s_3(n-2) + 15s_3(n-3) - s_4(n-4) + \\
 &(s_3(n-1) - 14s_3(n-2) + 18s_3(n-3) + 3s_3(n-4) + 4(s_4(n-5) + s_4(n-6) + \dots + s_4(1))) = \\
 &= 15s_3(n-1) - 32s_3(n-2) + 15s_3(n-3) - s_4(n-4): \leftarrow
 \end{aligned}$$

Գտնենք  $s_3(n)$  - ի ստացված անդրադարձ առնչությանը բավարարող  $s_3(n) = \lambda^n$  ( $\lambda \neq 0$ ) տեսքի հաջորդականություն, այդ դեպքում.

$$\begin{aligned}
 \lambda^n &= 15\lambda^{n-1} - 32\lambda^{n-2} + 15\lambda^{n-3} - \lambda^{n-4}, \quad n=1, 2, \dots, \\
 \lambda^4 - 15\lambda^3 + 32\lambda^2 - 15\lambda + 1 &= 0:
 \end{aligned}$$

Հավասարման լուծումներն են.

$$\begin{aligned}
 \lambda_1 &\approx 12.543754, \\
 \lambda_2 &\approx 1.830109, \\
 \lambda_3 &\approx 0.546416, \\
 \lambda_4 &\approx 0.079721,
 \end{aligned}$$

հետևաբար  $c_1\lambda_1^n + c_2\lambda_2^n + c_3\lambda_3^n + c_4\lambda_4^n$ ,  $n=1, 2, \dots$ , հաջորդականությունը ցանկացած  $c_1, c_2, c_3, c_4$  թվերի համար բավարարում է անդրադարձ առնչությանը: Ընտրենք այդ թվերն այնպես, որ բավարվեն սկզբնական արժեքները.

$$\begin{cases} c_1 + c_2 + c_3 + c_4 = 0, \\ c_1 \lambda_1 + c_2 \lambda_2 + c_3 \lambda_3 + c_4 \lambda_4 = 1, \\ c_1 \lambda_1^2 + c_2 \lambda_2^2 + c_3 \lambda_3^2 + c_4 \lambda_4^2 = 15, \\ c_1 \lambda_1^3 + c_2 \lambda_2^3 + c_3 \lambda_3^3 + c_4 \lambda_4^3 = 192, \end{cases} \text{ , լուծելով ստանում ենք } \begin{cases} c_1 \approx 0.09759, \\ c_2 \approx -0.09759, \\ c_3 \approx -0.09759, \\ c_4 \approx 0.09759: \end{cases}$$

Հետևաբար.

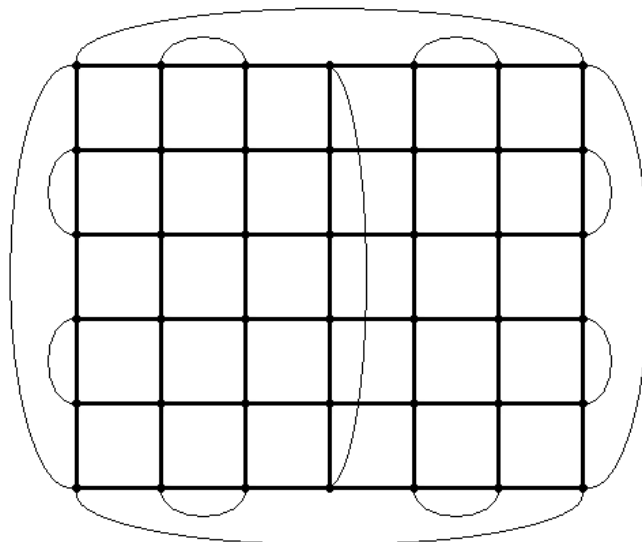
$$s_3(n) \approx 0.09759(12.543754^n + 0.079721^n - 1.830109^n - 0.546416^n):$$

Դիցուք  $G$  - ն  $k$  աստիճանի ռեգուլյար գրաֆ է գագաթների  $p$  քանակով (դա այն գրաֆն է, որի ցանկացած գագաթի ստիճանը  $k$  է, գրաֆը անվանում են  $(k, nm)$  ռեգուլյար գրաֆ), իսկ  $s(G)$  - ն նրա կմախքային ծառերի քանակն է:  $s(G)$  - ի համար հայտնի է Կելմանս - Բիգսի վերին գնահատականը [12].

$$s(G) \leq \frac{1}{p} \left( \frac{pk}{p-1} \right)^{p-1} < \frac{e}{p} k^{p-1}$$

$T_{n,m}$  քառակուսային ցանցից ստանանք  $G = (4, nm)$  ռեգուլյար գրաֆ՝ եզրային և անկյունային գագաթների աստիճանները դարձնելով 4, (նկ.3.4 - ում ցույց է տրված  $T_{7,6}$  ցանցից  $(4, 42)$  ռեգուլյար գրաֆ ստանալու եղանակներից մեկը): Պարզ է, որ  $s_m(n) < s(G)$ , հետևաբար.

$$s_m(n) < \frac{e}{nm} 4^{nm-1}$$



Նկ. 3.4

### 3.2. Համիլտոնյան ցիկլերի մետրիկական բնութագրերը

Դիցուք  $T_{n,m}$  ցանցը համիլտոնյան է (nm - ը զույգ է):  $E = \{e_1, e_2, \dots, e_{2mn-m-1}\}$ :  $T_{n,m}$  ցանցի բոլոր համիլտոնյան ցիկլերի բազմությունը նշանակենք  $C(T_{n,m})$ : Ենթադրենք  $C'$  և  $C'' \in C(T_{n,m})$ , համիլտոնյան ցիկլերին համապատասխանեցնենք ցանցի կողերի բազմություն, որոնցով ցիկլը անցնում է, պարզ է, որ  $C_1, C_2 \subseteq E$ :

Դիտարկենք  $C'$  և  $C''$  բազմությունների  $C' \Delta C'' = (C' \cup C'') \setminus (C' \cap C'')$  սիմետրիկ տարբերությունը:  $C' \Delta C''$  բազմության հզորությունը նշանակենք  $h(C', C'')$ , այսինքն  $h(C', C'')$  թիվը ցույց է տալիս թե քանի կողով են նրանք տարբերվում: Նկատենք, որ  $h(C', C'')$  - ը զույգ է, քանի որ ցանցը երկկողմանի է:

**Պնդում 3.3:** Դիտարկված  $h(C', C'')$  - ը հանդիսանում է հեռավորության.

- $h(C', C'') \geq 0$ , և  $h(C', C'') = 0 \Leftrightarrow C' = C''$ ,
- $h(C', C'') = h(C'', C')$ ,
- $h(C', C'') + h(C'', C''') \geq h(C', C''')$ , (եռանկյան անհավասարություն)

$\Rightarrow$  1-ին և 2-րդ պնդումների ապացույցները պարզ են, հետևում են սահմանումներից:

Ամեն մի ցիկլի համապատասխանեցնենք բուլյան վեկտոր  $k=2mn-m-n$  երկարությամբ, որտեղ վեկտորի  $i$ -րդ կոմպոնենտը ցույց է տալիս ցանցի տվյալ կողը կա ցիկլում թե ոչ.

$$C' \rightarrow \alpha = (\alpha_1, \alpha_2, \dots, \alpha_k), \text{ որտեղ } \alpha_i = \begin{cases} 1, & \text{եթե } e_i \in C', i = 1, 2, \dots, k; \\ 0, & \text{հակառակ դեպքում:} \end{cases}$$

Նման ձևով.  $C'' \rightarrow \beta = (\beta_1, \beta_2, \dots, \beta_k)$ ,  $C''' \rightarrow \gamma = (\gamma_1, \gamma_2, \dots, \gamma_k)$ :

Պարզ է, որ  $\|\alpha\| = \|\beta\| = \|\gamma\| = mn$ ,  $\|\alpha \oplus \gamma\| = h(C', C'')$ ,  $\|\beta \oplus \gamma\| = h(C'', C''')$ ,  $\|\alpha \oplus \gamma\| = h(C', C''')$ :

$$h(C', C'') + h(C'', C''') = \|\alpha \oplus \beta\| + \|\beta \oplus \gamma\| = \sum (\alpha_i \oplus \beta_i) + \sum (\beta_i \oplus \gamma_i) = \sum (\alpha_i \oplus \beta_i + \beta_i \oplus \gamma_i);$$

$$h(C', C''') = \|\alpha \oplus \gamma\| = \sum (\alpha_i \oplus \gamma_i);$$

Դիտարկենք գումարների  $i$ -րդ բաղադրիչը.

$$\text{եթե } \beta_i = 0; \alpha_i \oplus \beta_i + \beta_i \oplus \gamma_i = \alpha_i + \gamma_i \geq \alpha_i \oplus \gamma_i;$$

$$\text{եթե } \beta_i = 1; \alpha_i \oplus \beta_i + \beta_i \oplus \gamma_i = \bar{\alpha}_i + \bar{\gamma}_i \geq \bar{\alpha}_i \oplus \bar{\gamma}_i = \alpha_i \oplus \gamma_i;$$

$$\text{հետևաբար } \sum (\alpha_i \oplus \beta_i + \beta_i \oplus \gamma_i) \geq \sum (\alpha_i \oplus \gamma_i): \Leftarrow$$

$T_{n,m}$  ցանցի համիլտոնյան ցիկլերի մաքսիմալ և մինիմալ հեռավորությունները նշանակենք համապատասխանաբար  $d_{\max}(n, m)$  և  $d_{\min}(n, m)$ .

$$d_{\max}(n, m) = \max( h(C', C'') ),$$

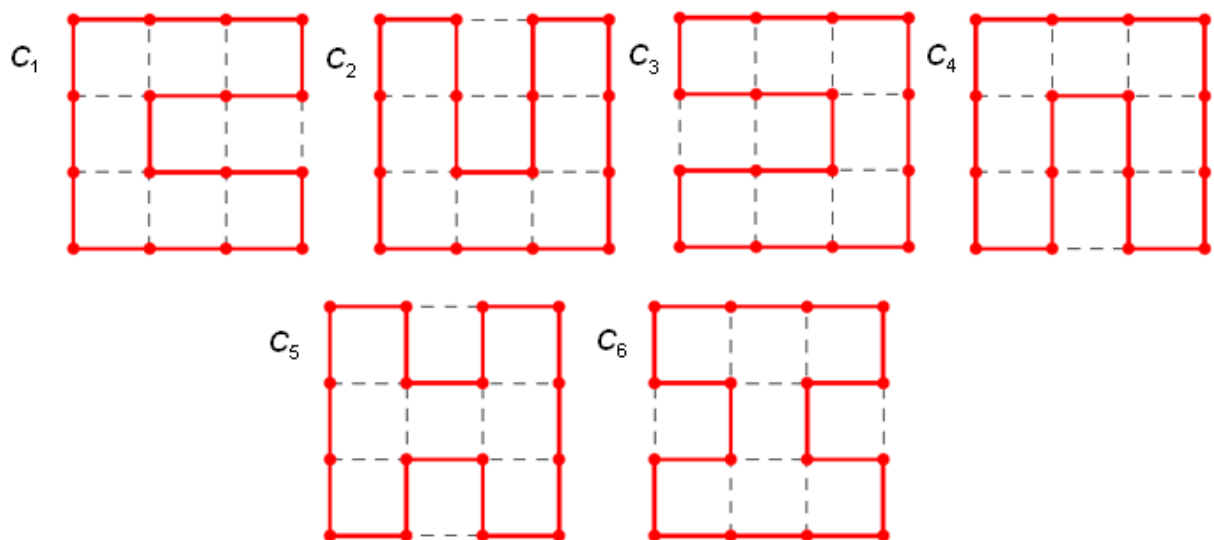
$$d_{\min}(n, m) = \min( h(C', C'') ):$$

$C', C'' \in C(T_{n,m})$ : Այսինքն  $d_{\min}(n, m)$  - ը ցույց է տալիս կողերի մինիմալ քանակը, որքանով որևէ 2 ցիկլեր համակնուծ են: Պարզ է, որ

$$2 d_{\min}(n, m) + d_{\max}(n, m) = nm:$$

Նկատենք, որ  $d_{\min}(n, m) \geq 8$ , քանի որ ցանկացած համիլտոնյան ցիկլ անցնում է անկյունային գագաթներով:

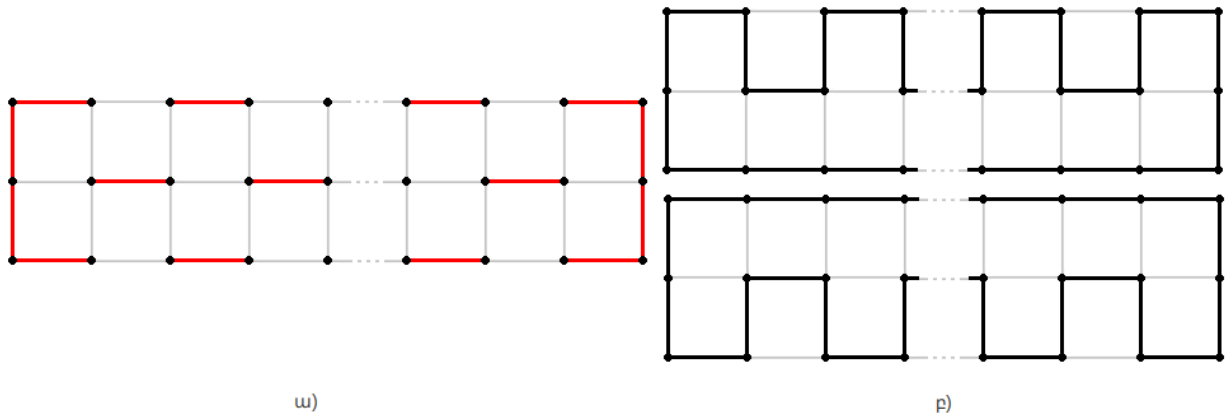
Այսպես, օրինակ նկ. 3.5 - ում պատկերված են  $T_{4,4}$  քառակուսի ցանցի բոլոր 6 համիլտոնյան ցիկլերը:  $d_{\min}(n, m) = 8$ , քանի որ  $C_5$  և  $C_6$  ցիկլերը համակնուծ են միայն անկյունային գագաթներին կից կողերով:



Նկ. 3.5

Պնդում 3.4:  $d_{\min}(3, n) = 3n - 6, n = 2k, k = 2, 3, \dots$ :

⇒ Նկատենք, որ  $n \times 3$  քառակուսային ցանցի ցանկացած ցիկլ պարունակում է նկ.3.6 ա)-ուժ պատկերված կողերը, հետևաբար  $d_{\min}(3, n) \geq 3n - 6$ , մնում է ցույց տալ, որ կան երկու ցիկլեր, որոնք մնացած բոլոր կողերով տարբերվում են, այդպիսի ցիկլերից երկուսը պատկերված նկ.3.6 բ) - ում:←



Նկ. 3.6

Պնդում 3.5:  $d_{\min}(4, n) = d_{\min}(4, n - 1) + d_{\min}(4, n - 4) - d_{\min}(4, n - 5)$ ,  $n = 8, 9, 10, \dots$ ,

$$d_{\min}(4, 3) = 9, d_{\min}(4, 4) = 8, d_{\min}(4, 5) = 10, d_{\min}(4, 6) = 11, d_{\min}(4, 7) = 13:$$

⇒ Ունենք, որ (հավելված, ստացված է համակարգչի օգնությամբ),

$$d_{\min}(4, 3) = 9, d_{\min}(4, 4) = 8, d_{\min}(4, 5) = 10, d_{\min}(4, 6) = 11:$$

Նկ. 3.7 - ի ա), բ), գ), դ), ե), զ), է), ը) - ում պատկերված են համապատասխանաբար  $4 \times 3, 4 \times 4, 4 \times 5, 4 \times 6, 4 \times 7, 4 \times 8, 4 \times 9, 4 \times 10$  քառակուսային ցանցերում որեիցե երկու ցիկլեր, որոնց հեռավորությունը միմյանից է: Նկատենք, որ ե), գ), է), ը) տեսքի ցիկլերը ստացվում են ա), բ), գ), դ) ցիկլերից, նրանց աջից կցելով բ) տեսքի ցիկլեր (հիշենք, որ դրանք  $4 \times 4$  քառակուսի ցանցի այն ցիկլերն էին, որոնք համակցվում էին միայն անկյունային գագաթներին կից կողերով), այսինքն արոցները կրկնելով և ամեն անգամ ա), բ), գ), դ) տեսքի ցիկլերին  $k = 1, 2, \dots$  անգամ աջից կցելով բ) տեսքի ցիկլեր, կստանանք համապատասխանաբար  $4 \times (4k + 3), 4 \times (4k + 4), 4 \times (4k + 5), 4 \times (4k + 6)$ , քառակուսային ցանցի այն ցիկլերը, որոնց հեռավորությունը միմյանից է. այսինքն.

$$d_{\min}(4, 4k + 3) = d_{\min}(4, 3) + k(d_{\min}(4, 4) - 4) = 9 + 4k,$$

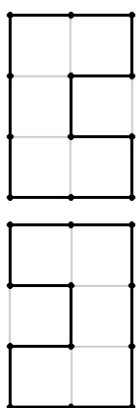
$$d_{\min}(4, 4k + 4) = d_{\min}(4, 4) + k(d_{\min}(4, 4) - 4) = 8 + 4k,$$

$$d_{\min}(4, 4k + 5) = d_{\min}(4, 5) + k(d_{\min}(4, 4) - 4) = 10 + 4k,$$

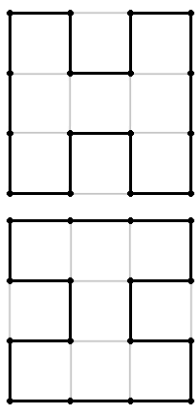
$$d_{\min}(4, 4k + 6) = d_{\min}(4, 6) + k(d_{\min}(4, 4) - 4) = 11 + 4k:$$

$k = 1, 2, \dots$ : Ընդհանրացնելով ստացված արդյունքները, կարող ենք գրել, որ.

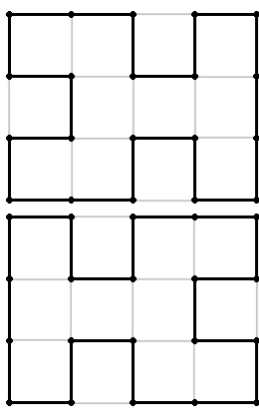
$$d_{\min}(4, n) = d_{\min}(4, n - 1) + d_{\min}(4, n - 4) - d_{\min}(4, n - 5), n = 8, 9, 10, \dots, \leftarrow$$



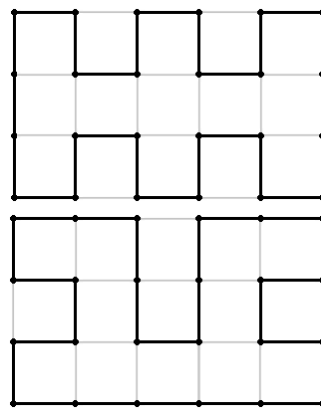
ω)



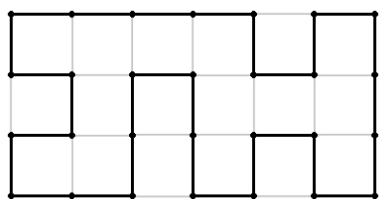
ρ)



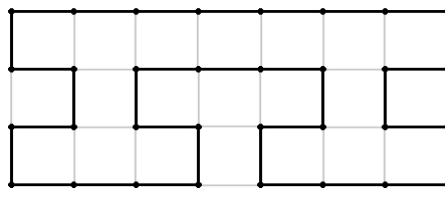
q)



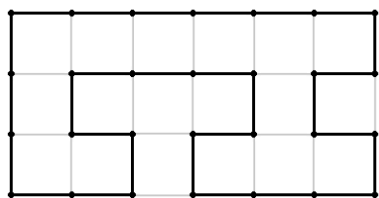
η)



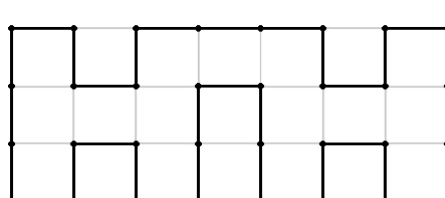
τ)



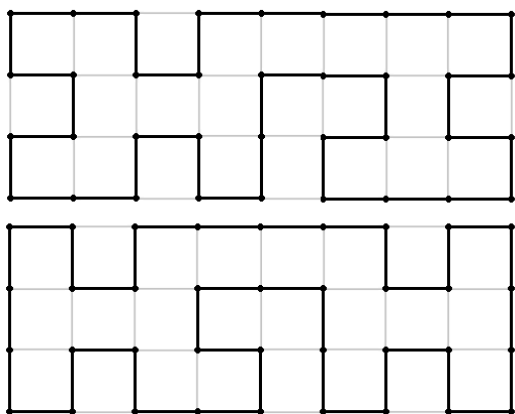
q)



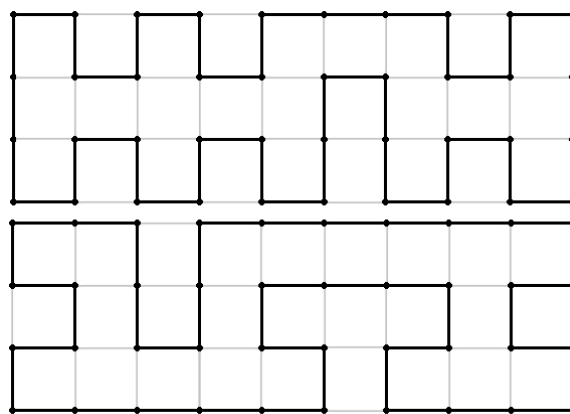
τ)



q)



τ)



q)

ил. 3.7



Պնդում 3.6:  $d_{\min}(5, n) = d_{\min}(5, n - 2) + d_{\min}(5, n - 4) - d_{\min}(5, n - 6)$ ,

$$n = 2k, k = 5, 6, \dots,$$

$$d_{\min}(5, 4) = 10, d_{\min}(5, 6) = 14, d_{\min}(5, 8) = 16, d_{\min}(5, 10) = 20:$$

⇒ Ունենք, որ(հավելված, ստացված է համակարգչի օգնությամբ),

$$d_{\min}(5, 4) = 10, d_{\min}(5, 6) = 14, d_{\min}(5, 8) = 16, d_{\min}(5, 10) = 20:$$

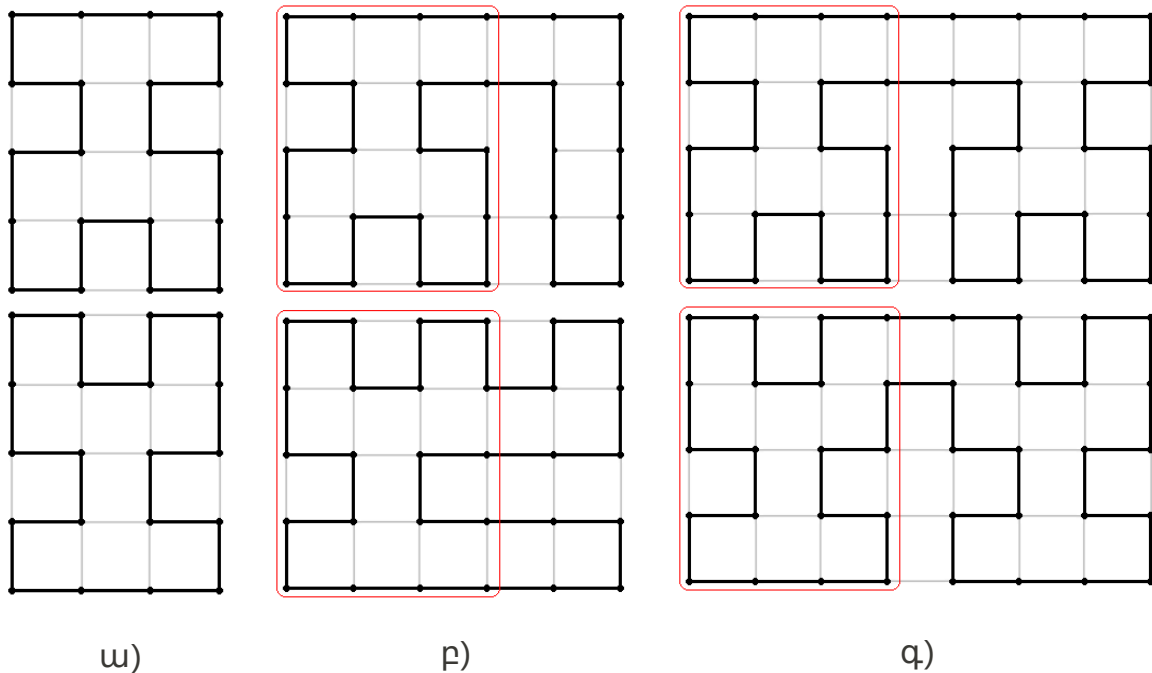
Նկ.3.8 - ի ա), բ), գ) - ում պատկերված են համապատասխանաբար  $5 \times 4$ ,  $5 \times 6$ ,  $5 \times 8$  քառակուսային ցանցերում որեիցե երկու ցիկլեր, որոնց հեռավորությունը միմյանից է: Նկատենք, որ բ) տեսքի ցիկլը ստացվում է ա) ցիկլերից, նրան աջից միացնելով ինչ որ շղթա, իսկ գ) տեսքի ցիկլերը պարզապես ա) ցիկլերի միացումն է հենց իր տեսքի ցիկլին, այսինքն պրոցեսը կրկնելով և ամեն անգամ ա) տեսքի ցիկլերին  $k = 1, 2, \dots$  անգամ աջից միացնելով ա) կամ բ) տեսքի ցիկլեր կստանանք համապատասխանաբար  $5 \times (4k + 4)$ ,  $5 \times (4k + 6)$  քառակուսային ցանցի այն ցիկլերը, որոնց հեռավորությունը միմյանից է. այսինքն.

$$d_{\min}(5, 4k + 4) = d_{\min}(5, 4) + k(d_{\min}(5, 4) - 4) = 10 + 6k,$$

$$d_{\min}(5, 4k + 6) = d_{\min}(5, 6) + k(d_{\min}(5, 4) - 4) = 14 + 6k,$$

$k = 1, 2, \dots$ : Ընդհանրացնելով ստացված արդյունքները, կարող ենք գրել, որ.

$$d_{\min}(5, n) = d_{\min}(5, n - 2) + d_{\min}(5, n - 4) - d_{\min}(5, n - 6), n = 2k, k = 5, 6, \dots, \Leftarrow$$



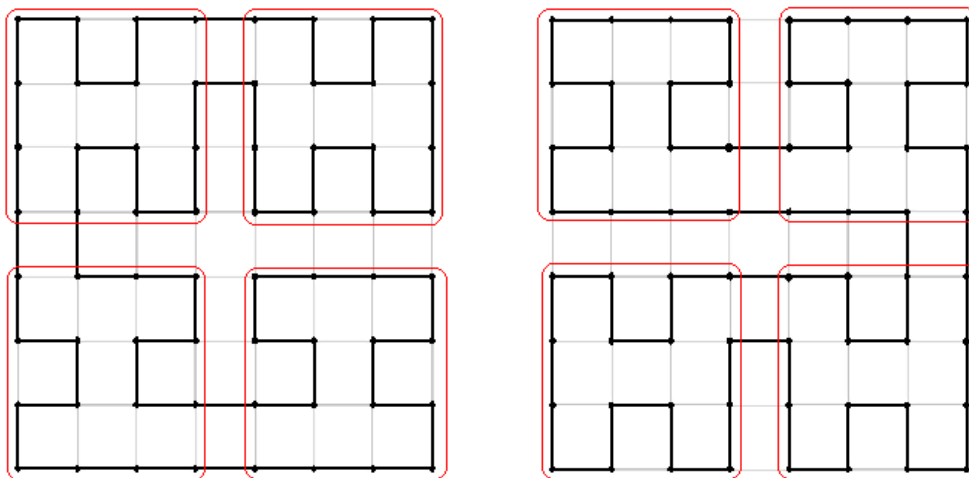
Նկ. 3.8

Պնդում 3.7:

$$d_{\min}(4m, n) = md_{\min}(4m, n-1) + md_{\min}(4m, n-4) - md_{\min}(4m, n-5) - 4m + 4;$$

$$n = 8, 9, \dots, m = 1, 2, \dots:$$

⇒ Պարզ է, որ  $d_{\min}(4m, n) = md_{\min}(m, n) - 4m - 4$  (քանի որ  $d_{\min}(m, n)$  գտնելիս մենք աշխատում էինք հնարավորինս շատ օգտագործել նկ.3.9 - ի բ) տեսքի ցիկլերից, քանի որ նրանք լավագույնն են և համընկնում են միայն անկյունային գագաթներին կից կողերով: Արդյունքում ստացված ցիկլերը միմյանց միացնելով  $4(m-1)$  կող ևս կտարբերվեն: Նկ.3.9 - ում պատկերված է  $8 \times 8$  քառակուսային ցանցի այն ցիկլերը, որոնք ստացվում են վերը նկարագրված եղանակով և ունեն մինիմալ հեռավորություն:



Նկ. 3.9

Հետևանք:

$$d_{\min}(4m, 4n) = 4mn + 4:$$

$$d_{\min}(4m, 4n + 1) = 4mn + 2m + 4:$$

$$d_{\min}(4m, 4n + 2) = 4mn + 3m + 4:$$

$$d_{\min}(4m, 4n + 3) = 4mn + 5m + 4:$$

⇒ Ապացույցը պարզ է, ստացվում է օգտվելով պնդում 3.5 - ում ստացված արդյունքներից և՛ պնդում 3.7 - ում կառուցման ձևից: ◀

### 3.3. Ցանցի կմախքային ցիկլերի քանակը

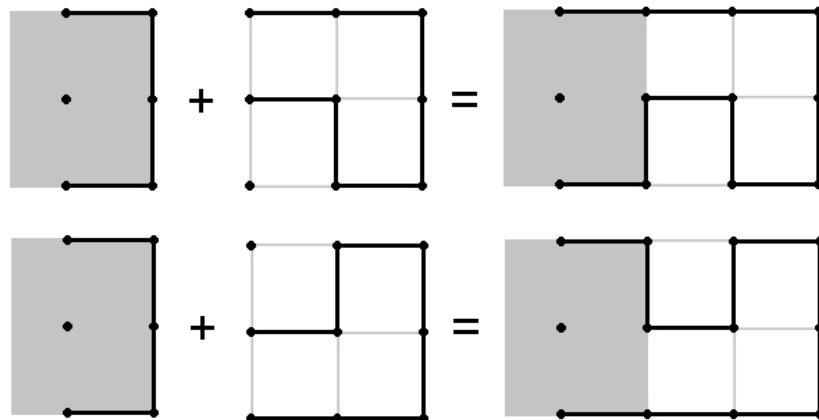
$T_{n,m}$  ցանցի իրարից տարբեր համիլտոնյան ցիկլերի քանակը նշանակենք  $h_m(n)$ -ով: Պարզ է, որ  $h_m(n) = h_n(m)$ ,  $h_1(n) = 0$ ,  $h_2(n) = 1$ :

Դիտարկենք  $T_{n,3}$  ցանցը, քանի որ  $m = 3$  կենտ է,  $\Rightarrow$  ցանցը համիլտոնյան է եթե  $n$  - ը զույգ է:

**Պնդում 3.8:**  $h_3(n) = 2^{n/2-1}$ ,  $n = 2k$ ,  $k = 1, 2, \dots$ :

$\Rightarrow T_{3,n-2}$  - համիլտոնյան ցիկլից  $T_{n,3}$  - ի համիլտոնյան ցիկլ կարելի է ստանալ երկու եղանակով (նկ. 3.10), ուստի.

$$h_3(n) = 2 h_3(n-2) = 2^{n/2-1} h_3(2) = 2^{n/2-1}; \leftarrow$$



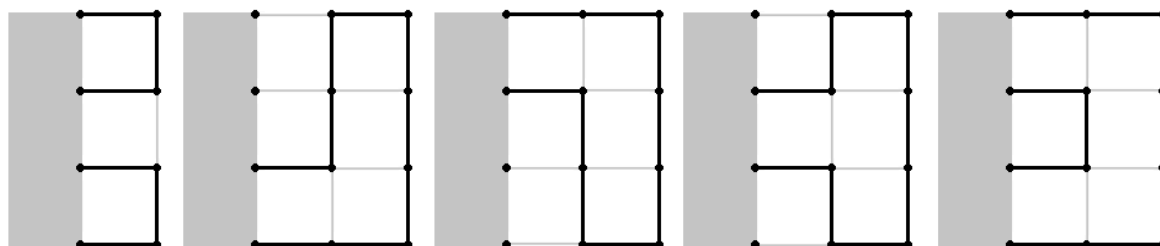
Նկ. 3.10

**Պնդում 3.9:**  $h_4(n) = 2 h_4(n-1) + 2 h_4(n-2) - 2 h_4(n-3) + h_4(n-4)$ ,  $n = 3, 4, \dots$ ,

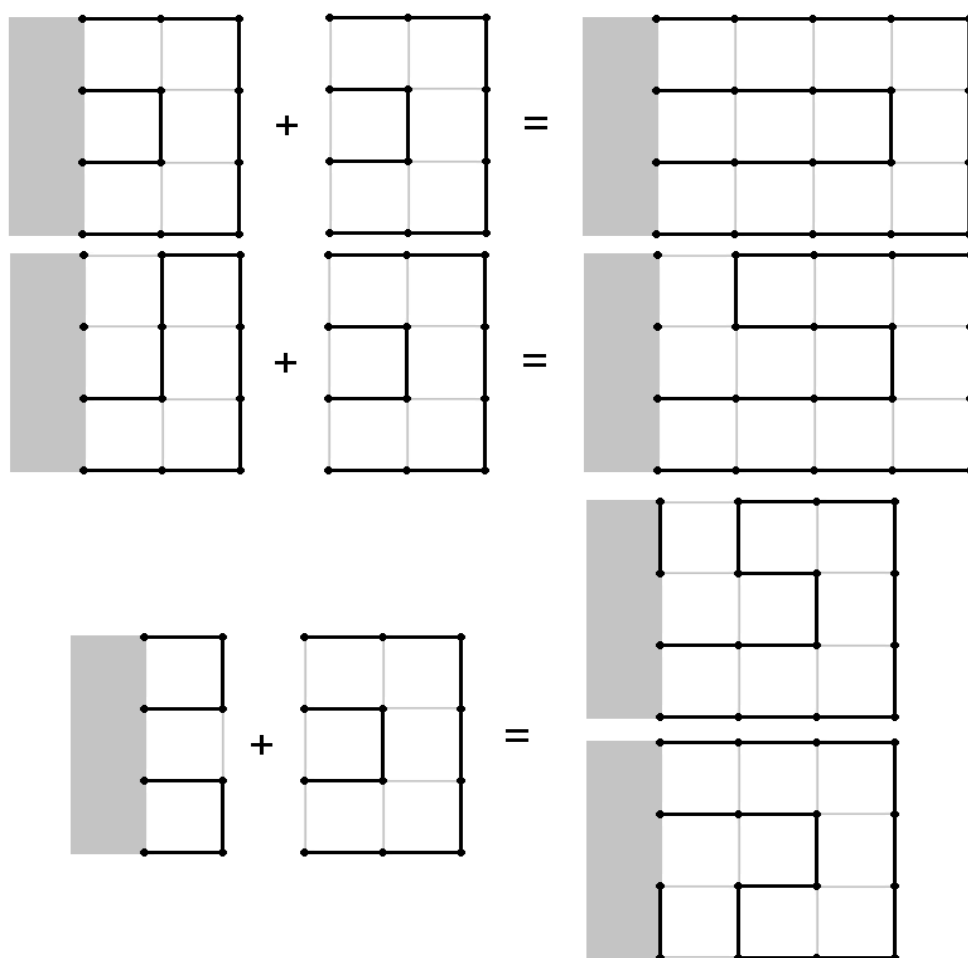
$$h_4(-1) = h_4(0) = h_4(1) = 0, h_4(2) = 1, h_4(3) = 2:$$

$\Rightarrow T_{n,4}$  - ի համիլտոնյան ցիկլը կարող է ունենալ նկ. 3.11 ա) - ում պատկերված 5 տեսքերից մեկը, նրանց քանակը նշանակենք համապատասխանաբար  $f_1(n)$ ,  $f_2(n)$ ,  $f_3(n)$ ,  $f_4(n)$ ,  $f_5(n)$ , պարզ է, որ  $h_4(n) = f_1(n) + f_2(n) + f_3(n) + f_4(n) + f_5(n)$ : նկ. 3.11 բ) - ում ցույց է տրված համիլտոնյան ցիկլի կառուցման որոշ եղանակներ (ցիկլի կառուցման կրկնվող եղանակները և պարզ դեպքերը նկարված չեն), արդյունքում կստանանք.

$$\begin{aligned}
f_1(n) &= h_4(n-1), f_2(n) = f_3(n) = h_4(n-2), \\
f_4(n) &= f_2(n-2) + f_3(n-2) + f_4(n-2) + f_5(n-2) = h_4(n-2) - f_1(n-2) = h_4(n-2) - h_4(n-3), \\
f_5(n) &= 2f_1(n-2) + f_2(n-2) + f_3(n-2) + f_5(n-2) = h_4(n-2) + f_1(n-2) - f_4(n-2) = \\
&= h_4(n-2) + h_4(n-3) - h_4(n-4) + h_4(n-5): \\
h_4(n) &= f_1(n) + f_2(n) + f_3(n) + f_4(n) + f_5(n) = h_4(n-1) + 4h_4(n-2) - h_4(n-4) + h_4(n-5) = \\
&= 2h_4(n-1) + 2h_4(n-2) - 2h_4(n-3) + h_4(n-4) - h_4(n-1) + 2h_4(n-2) + 2h_4(n-3) - 2h_4(n-4) + h_4(n-5): \\
\text{Ստացվածից հետևում է, որ } h_4(n) &= 2h_4(n-1) + 2h_4(n-2) - 2h_4(n-3) + h_4(n-4): \leftarrow
\end{aligned}$$



ա)



բ)

Նկ. 3.11

Գտնենք  $h_4(n)$  - ի ստացված անդրադարձ առնչությանը բավարարող  $h_4(n) = \lambda^{n-1}$  ( $\lambda \neq 0$ ) տեսքի հաջորդականություն, այդ դեպքում.

$$\begin{aligned}\lambda^{n-1} &= 2\lambda^{n-2} + 2\lambda^{n-3} - 2\lambda^{n-4} + \lambda^{n-5}, \quad n=5, 6, \dots, \\ \lambda^4 - 2\lambda^3 - 2\lambda^2 + 2\lambda - 1 &= 0:\end{aligned}$$

Հավասարման լուծումներն են.

$$\begin{aligned}\lambda_1 &\approx 2.538616, \\ \lambda_2 &\approx -1.276209, \\ \lambda_3 &\approx 0.368796 - 0.415512i, \\ \lambda_4 &\approx 0.368796 + 0.415512i,\end{aligned}$$

հետևաբար  $c_1\lambda_1^{n-1} + c_2\lambda_2^{n-1} + c_3\lambda_3^{n-1} + c_4\lambda_4^{n-1}$ ,  $n=1, 2, \dots$ , հաջորդականությունը ցանկացած  $c_1, c_2, c_3, c_4$  թվերի համար բավարարում է անդրադարձ առնչությանը: Ընտրենք այդ թվերն այնպես, որ բավարվեն սկզբնական արժեքները.

$$\left\{ \begin{array}{l} c_1 + c_2 + c_3 + c_4 = 0, \\ c_1\lambda_1 + c_2\lambda_2 + c_3\lambda_3 + c_4\lambda_4 = 1, \\ c_1\lambda_1^2 + c_2\lambda_2^2 + c_3\lambda_3^2 + c_4\lambda_4^2 = 2, \\ c_1\lambda_1^3 + c_2\lambda_2^3 + c_3\lambda_3^3 + c_4\lambda_4^3 = 6, \end{array} \right. , \text{լուծումներն են} \quad \begin{aligned} c_1 &\approx 0.346124, \\ c_2 &\approx -0.148311, \\ c_3 &\approx -0.098906 - 0.006019i, \\ c_4 &\approx -0.098906 + 0.006019i: \end{aligned}$$

Վերծնելով իրական արժեքները կարող ենք գրել.

$$h_4(n) \sim c_1\lambda_1^{n-1} + c_2\lambda_2^{n-1} \approx 0.346124(2.538616)^{n-1} - 0.148311(-1.276209)^{n-1}:$$

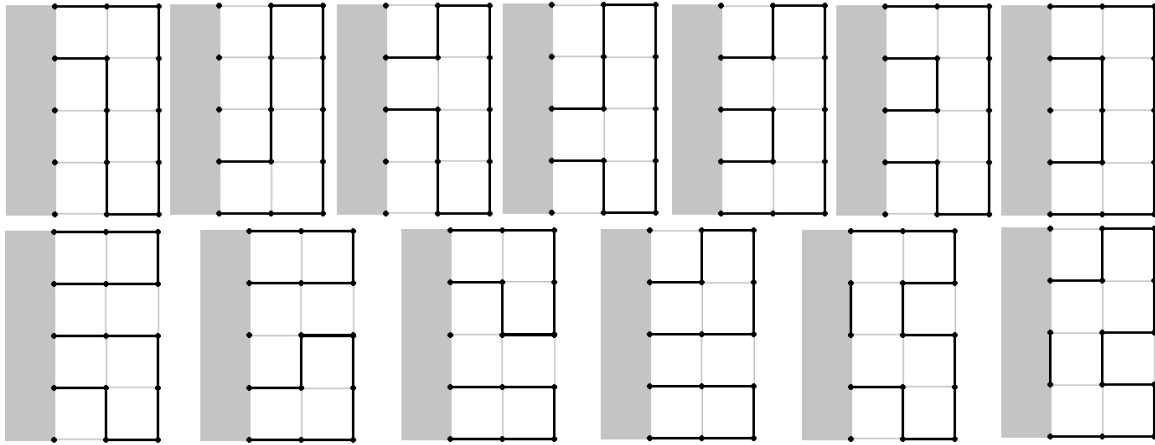
**Պնդում 3.10:**  $h_5(n) = 11h_5(n-2) + 2h_5(n-6)$ ,  $n = 2k$ ,  $k = 3, 4, \dots$ ,

$$h_5(0) = h_5(1) = 0, h_5(2) = 1, h_5(4) = 14:$$

$\Rightarrow T_{n,5}$  - ի համիլտոնյան ցիկլը կարող է ունենալ նկ. 3.12 - ում պատկերված 13 տեսքերից մեկը, նրանց քանակը նշանակենք համապատասխանաբար  $f_1(n)$ ,  $f_2(n)$ , ...,  $f_{12}(n)$ ,  $f_{13}(n)$ , պարզ է, որ  $h_5(n) = f_1(n) + f_2(n) + \dots + f_{12}(n) + f_{13}(n)$ : նկ. 3.13 - ում ցույց է տրված համիլտոնյան ցիկլի կառուցման որոշ դեպքեր(ցիկլի կառուցման կրկնվող եղանակները և պարզ դեպքերը նկարված չեն), կստանանք.

$$f_1(n) = f_2(n) = f_9(n) = f_{10}(n) = h_4(n-2),$$

$$\begin{aligned} f_3(n) = f_4(n) = f_8(n) = f_{11}(n) &= f_1(n-2) + f_2(n-2) + f_3(n-2) + f_4(n-2) + f_5(n-2) + f_6(n-2) + f_7(n-2) + f_{10}(n-2) + \\ &+ f_{11}(n-2) + f_{13}(n-2) = h_5(n-2) - f_8(n-2) - f_9(n-2) - f_{12}(n-2) = h_5(n-2) - h_5(n-4) - f_3(n-2) - f_5(n-2) \end{aligned}$$



Նկ. 3.12

$$f_5(n)=f_6(n)=f_{12}(n)=f_{13}(n) = f_1(n-2)+f_2(n-2)+f_3(n-2)+f_5(n-2)+f_7(n-2)+f_{10}(n-2)+f_{11}(n-2)+f_{13}(n-2) = \\ = h_5(n-2) - f_4(n-2) - f_6(n-2) - f_8(n-2) - f_9(n-2) - f_{12}(n-2) = h_5(n-2) - h_5(n-4) - 2f_3(n-2) - 2f_5(n-2),$$

$$f_7(n) = 2f_1(n-2)+2f_2(n-2)+f_3(n-2)+f_4(n-2)+f_5(n-2)+f_6(n-2)+2f_7(n-2)+f_8(n-2)+f_9(n-2)+f_{10}(n-2)+ \\ +f_{11}(n-2)+f_{12}(n-2)+f_{13}(n-2) = 2h_5(n-2) - 2h_5(n-4) - 4f_3(n-2) - 4f_5(n-2):$$

Նկատենք, որ  $f_5(n) = 2f_3(n) - h_5(n-2) + h_5(n-4)$ ,  $f_7(n) = 4f_3(n) - 2h_5(n-2) + 2h_5(n-4)$ :

Տեղադրենք ստացված արտահայտությունները  $h_5(n)$ -ում և  $f_7(n)$ -ում.

$$h_5(n) = 4h_5(n-2) + 4f_3(n) + 4f_5(n) + f_7(n) = 16f_3(n) - 2h_5(n-2) + 6h_5(n-4),$$

$$16f_3(n) = h_5(n) + 2h_5(n-2) - 6h_5(n-4)$$

$$4f_3(n) - 2h_5(n-2) + 2h_5(n-4) = f_7(n) = h_5(n-2)+f_1(n-2)+f_2(n-2)+f_7(n-2) = h_5(n-2)+2h_5(n-4)+ \\ +4f_3(n-2) - 2h_5(n-4) + 2h_5(n-6), \quad 16f_3(n) = 16f_3(n-2) + 12h_5(n-2) - 8h_5(n-4) + 8h_5(n-6):$$

Տեղադրենք  $16f_3(n)$  - ի արժեքը վերջին արտահայտությունում.

$$h_5(n) + 2h_5(n-2) - 6h_5(n-4) = h_5(n-2) + 2h_5(n-4) - 6h_5(n-6) + 12h_5(n-2) - 8h_5(n-4) + 8h_5(n-6),$$

$$h_5(n) = 11h_5(n-2) + 2h_5(n-6):$$

Գտնենք  $h_5(n)$  - ի ստացված անդրադարձ առնչությանը բավարարող  $h_5(2n) = \lambda^{n-1}$  ( $\lambda \neq 0$ ) տեսքի հաջորդականություն, այդ դեպքում.

$$\lambda^{n-1} = 11\lambda^{n-2} + 2\lambda^{n-4}, \quad n=4, 5, \dots, \\ \lambda^3 - 11\lambda^2 - 2 = 0:$$

Հավասարման լուծումներն են.

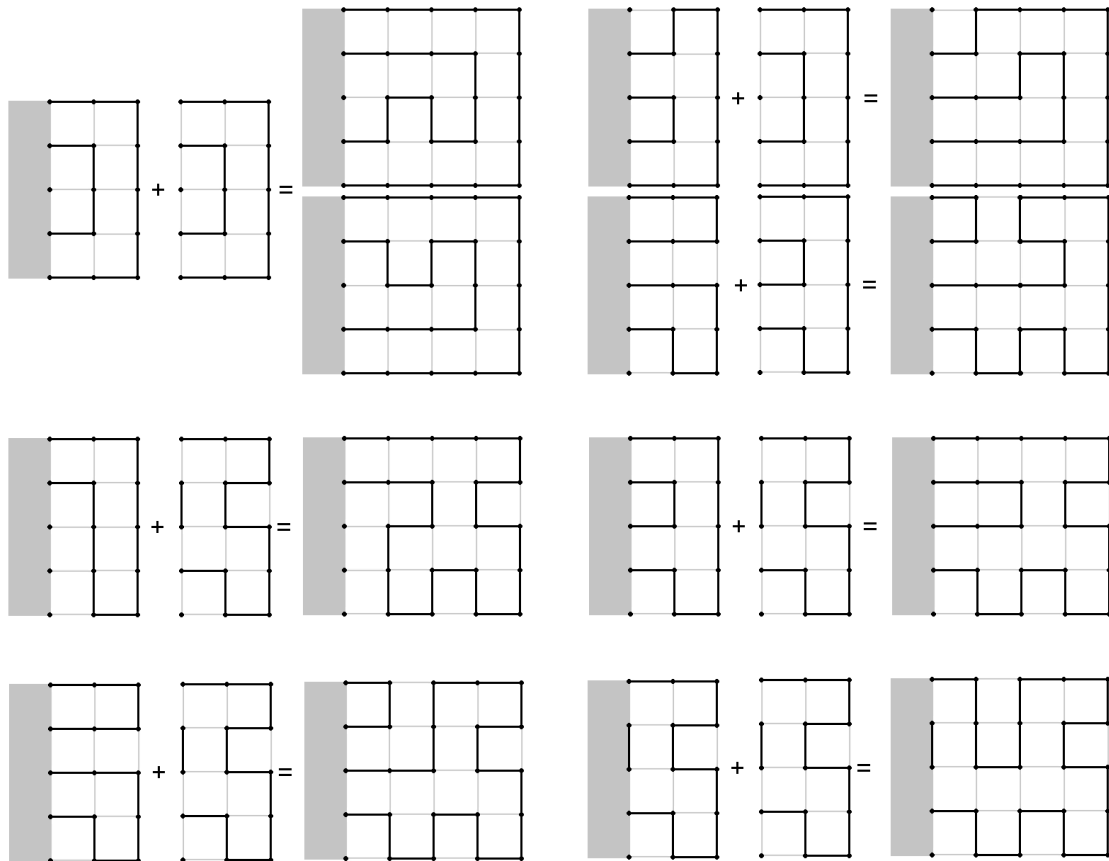
$$\lambda_1 \approx 11.01648, \\ \lambda_2 \approx -0.00824 - 0.426i, \\ \lambda_3 \approx -0.00824 + 0.426i,$$

հետևաբար  $c_1\lambda_1^{n-1} + c_2\lambda_2^{n-1} + c_3\lambda_3^{n-1}$ ,  $n=1, 2, \dots$ , հաջորդականությունը ցանկացած  $c_1, c_2, c_3$ , թվերի համար բավարարում է անդրադարձ առնչությանը: Ընտրենք այդ թվերն այնպես, որ բավարարվեն սկզբնական արժեքները.

$$\begin{cases} c_1 + c_2 + c_3 = 0, \\ c_1 \lambda_1 + c_2 \lambda_2 + c_3 \lambda_3 = 1, \\ c_1 \lambda_1^2 + c_2 \lambda_2^2 + c_3 \lambda_3^2 = 14, \end{cases} \text{ , լուծումներն են՝ } \begin{cases} c_1 \approx 0.115148, \\ c_2 \approx -0.057574 - 0.316283i, \\ c_3 \approx -0.057574 + 0.316283i: \end{cases}$$

Վերծնելով իրական արժեքը կստանանք.

$$h_5(n) \sim c_1 \lambda_1^{n-1} \approx 0.115148 (11.01648)^{n-1}:$$

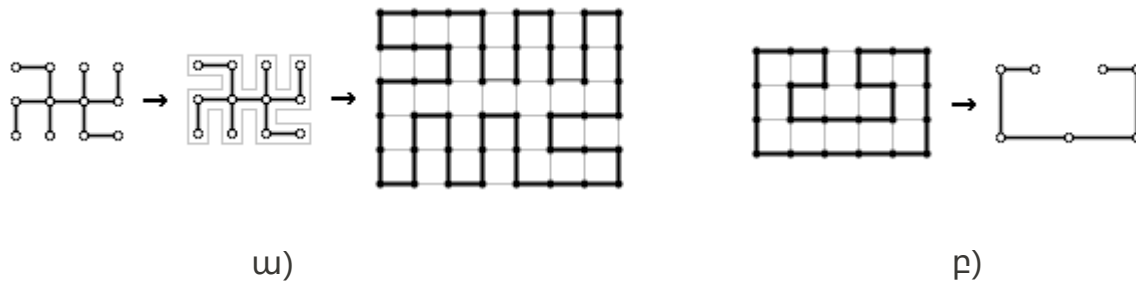


Նկ. 3.13

**Պնդում 3.11:**  $nm h_m(n) < s_m(n) < h_{2m}(2n)$ ,  $m, n = 2, 3, \dots$ :

⇒ Պարզ է, որ  $T_{n,m}$  ցանցի ցանկացած համիլտոնյան ցիկլից որևէից է կող հեռացնելով կստանանք կմախքային ծառ  $T_{n,m}$  ցանցում, բայց հակառակը ճիշտ չէ, հետևաբար  $nm h_m(n) < s_m(n)$  ակնհայտ է:  $T_{2n,2m}$  ցանցի համիլտոնյան ցիկլ կստանանք  $T_{n,m}$  - ի կմախքային ծառը պարփակելով ցիկլով, պարզ է, որ այդ դեպքում կլինի այնպիսի մի կմախքային ծառ, որ դեպքում ցանցի չափսերը կկրկնապատկվեն(նկ. 3.14 ա): Այդպես պարզ է, որ ամեն մի կմախքային ծառի միարժեք կհամապատասխանի

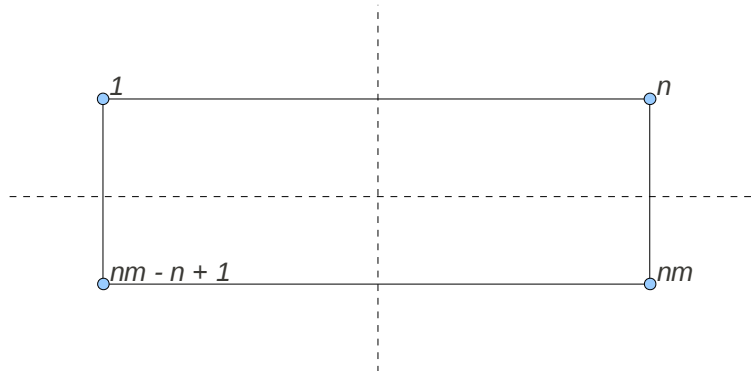
որևիցէ համիլտոնյան ցիկլ, հետևաբար  $h_{2m}(2n) \geq s_m(n)$ : Սակայն հակառակը ճիշտ չէ, ամեն մի  $T_{2n,2m}$  ցանցի համիլտոնյան ցիկլի չէ, որ նման կառուցման ձևով կհամապատասխանի  $T_{n,m}$  - ի կմախքային ծառ, ավելին ստացված պատկերը կարող է նույնիսկ կմախքային ծառ չլինել (նկ. 3.14 բ) ):



Նկ. 3.14

### 3.4. Սիմետրիկ ցիկլեր

Քառակուսային ցանցի կենտրոնից տանենք ուղղահայաց և հորիզոնական առանցքներ (քառակուսային ցանցը նաև ուղղանկյուն է, հետևաբար նրա կենտրոնը կլինի անկյունագծերի հատման կետը), այնպես, որ առանցքները ուղղահայաց և զուգահեռ լինեն ցանցի կողերին (նկ. 3.15):



Նկ. 3.15

Այն համիլտոնյան ցիկլը, որը ստացվում է  $C$  ցիկլից նրան հորիզոնական առանցքով սիմետրիկ արտապատկերելիս, կանվանենք  $C$  ցիկլի *հորիզոնական-սիմետրիկ* և կնշ.  $C^h$ , իսկ այդ ցիկլերին կանվանենք *հորիզոնական սիմետրիկ*: Եթե ցիկլը և նրա հորիզոնական-սիմետրիկ համակնուծ են, ապա այդ ցիկլը կանվանենք *հորիզոնական սիմետրիկ ցիկլ*: Համանման ձևով կսահմանենք *ուղղահայաց-սիմետրիկ*, *կենտրոնական-սիմետրիկ* և կնշանակենք համապատասխանաբար  $C^{nh}$  և  $C^k$ :

Պարզ է, որ  $C^{hh} = C^{nhnh} = C^{kk} = C$ ,  $C^{hnh} = C^{nhh} = C^k$ ,  $C^{hnhh} = C^{nh}$ :



Նկ. 3.4 - ում  $C_3$  ցիկլը ստացվում է  $C_1$  ցիկլից նրան ուղղահայաց առանցքով արտապատկերելիս, այսինքն  $C_1^{n\perp} = C_3$ :

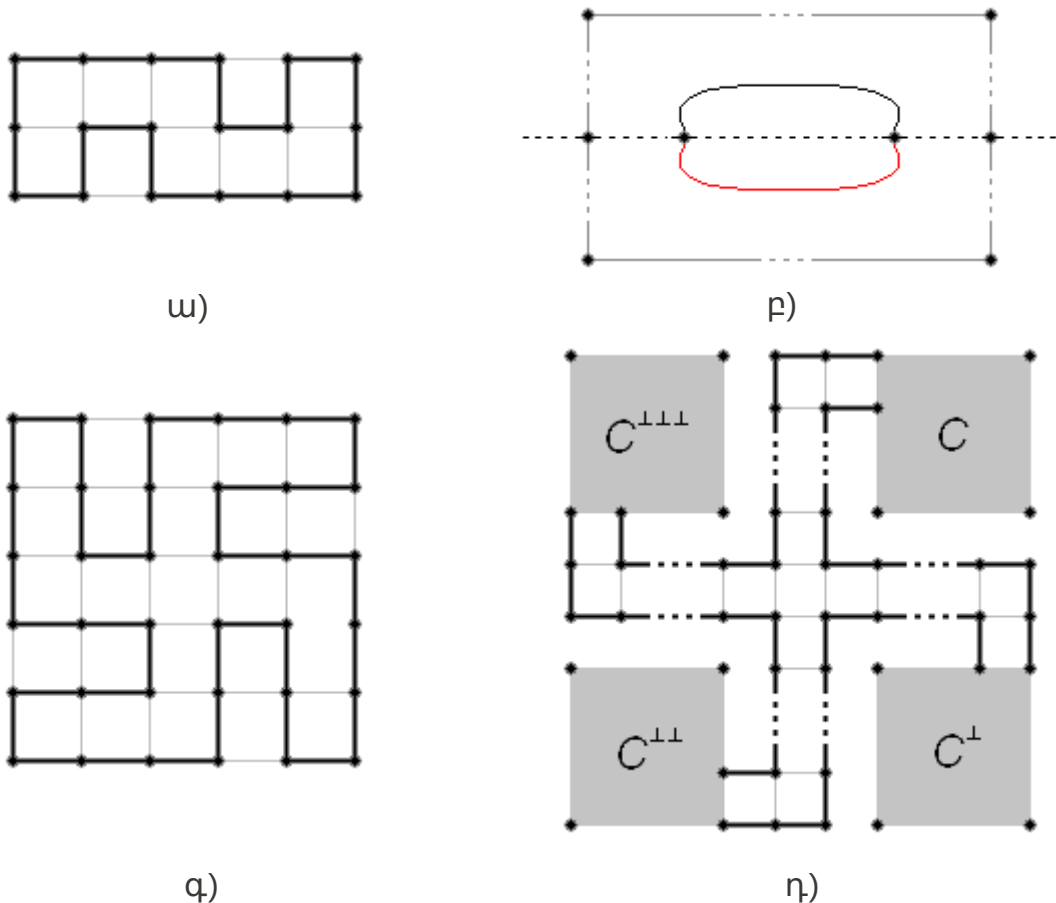
Եթե ցիկլը կենտրոնական սիմետրիկ է, ապա չի հետևում, որ այն հորիզոնական կամ ուղղահայաց սիմետրիկ է (նկ. 3.16 ա) ):

Լեմմա 2:  $T_{n,m}$  ցանցում գոյություն ունի հորիզոնական(ուղղահայաց) սիմետրիկ համիլտոնյան ցիկլ այն և միայն այն դեպքում երբ  $m(n)$  - ը զույգ է:

⇒ Բավարարությունը ակնհայտ է:

Ենթադրենք ցանցում կա հորիզոնական սիմետրիկ ցիկլ երբ  $m$  - ը կենտ է: Պարզ է, որ այդ դեպքում հորիզոնական առանցքը կպարունակի ցանցի գագաթներ: Դիտարկենք համիլտոնյան ցիկլի այն ամենակարճ պարզ շղթան, որը միացնում է հորիզոնական առանցքի վրա գտնվող երկու գագաթներ: Ստացված պարզ շղթան իր հորիզոնական սիմետրիայի հետ միասին կկազմի ցիկլ որը չի անցնում ցանցի բոլոր գագաթներով, հետևաբար ցիկլը համիլտոնյան չէ (նկ. 3.16 բ) ):

Համանման ձևով կապացուցենք ուղղահայաց սիմետրիայի համար:՝



Նկ. 3.16

Լեմմա 3:  $T_{n,m}$  ցանցում գոյություն ունի կենտրոնական սիմետրիկ համիլտոնյան ցիկլ այն և միայն այն դեպքում երբ կամ  $n$  - ը և  $m$  - ը միաժամանակ զույգ են կամ  $nm/2$  - ը կենտ է:

⇒ Բավարարությունը: Այն դեպքում, երբ  $n$  - ը և  $m$  - ը միաժամանակ զույգ են, ակնհայտ է: Ենթադրենք  $nm/2$  - ը կենտ է, համիլտոնյան ցիկլը

կկառուցենք, այնպես, որ նրա պատկերը նման լինի նկ. 3.16 ա) - ում պատկերված ցիկլին:

Անհրաժեշտությունը: Ենթադրենք  $n, m$  - ից  $m$  - ը կենստ է: Այդ դեպքում հորիզոնական առանցք կպարունակի ցանցի գագաթներ: Պարզ է, որ այդ դեպքում կենտրոնական սիմետրիկ համիլտոնյան ցիկլը չի անցնի ցանցի կենտրոնին հարևան երկու գագաթները միացնող կողով, որը գտնվում է հորիզոնական առանցքի վրա, քանի, որ կստացվեր, որ ցիկլի երկարությունը կենստ թիվ է: Համիլտոնյան ցիկլը բաղկացած է 2 պարզ շղթաներից, որոնց եզրերը այդ կենտրոնական կողի եզրերն են: Քանի որ ցիկլը կենտրոնական սիմետրիկ է, հետևաբար այդ երկու պարզ շղթաների երկարությունները հավասար են, նշանակենք  $q$  - ով,  $nm = 2q$ ,  $q$  - ն կենստ է, քանի որ կենտրոնական կողը ավելացնելիս այդ պարզ շղթաները կդառնան ցիկլեր, որոնց երկարությունները գույժ է:Վ

Միայն քառակուսի և համիլտոնյան ցանցերի համար սահմանենք ցիկլերի ուղղահայացությունը:

Այն համիլտոնյան ցիկլը, որը ստացվում է  $C$  ցիկլից նրան  $+ 90^\circ$  պտտելիս, կանվանենք այդ ցիկլին ուղղահայաց ցիկլ և կնշանակենք  $C^\perp$ , եթե  $C = C^\perp$ , ապա ցիկլը կկոչվի ուղղահայաց: (նկ. 3.4 - ում  $C_5$  և  $C_6$  ցիկլերը միմյանց ուղղահայաց են, իսկ նկ. 3.16 գ) - ում ցիկլը ուղղահայաց է): Պարզ է, որ  $C^{\perp\perp\perp\perp} = C$ ,  $C^{\perp\perp} = C^{hnL}$ :

Լեմմա 4:  $T_{n,n}$  ցանցում գոյություն ունի ուղղահայաց համիլտոնյան ցիկլ այն և միայն այն դեպքում երբ  $n/2$  - ը կենստ է:

⇒ Բավարարությունը: Նկ. 3.16 դ) - ում պատկերված է ուղղահայաց ցիկլը, որտեղ  $C$  - ն ցանկացած ցիկլ է  $(n/2 - 1) \times (n/2 - 1)$  ցանցում:

Անհրաժեշտությունը: Ենթադրենք ցանցում կա ուղղահայաց համիլտոնյան ցիկլ, պարզ է, որ համիլտոնյան ցիկլը չի անցնում ցանցի կենտրոնին մոտ 4 կողերով (օրինակ նկ. 3.16 գ) ), ցիկլը բաղկացած է 4 պարզ շղթաներից, ամեն մի այդպիսի կողի եզրերը այդ շղթաներից մեկի եզրերն են, շղթաներից մեկի վերջը մյուսի սկիզբն է, մեկը մյուսից կարելի է ստանալ նրան պտտելով  $90^\circ$  աստիճանով, այսինքն այդ պարզ շղթաների երկարությունները միմյանց հավասար են: Նշանակենք  $q$  - ով:  $q$  - ն կենստ թիվ է, քանի որ նրանցից յուրաքանչյուրին միայն մեկ կող ավելացնելիս կստանանք ցիկլ: Հետևաբար.

$$p = \frac{n^2}{4} = \frac{n}{2} \frac{n}{2}: \leftarrow$$

$C_1$  և  $C_2$  ցիկլերը կանվանենք *սիմետրիկ*, եթե նրանք հորիզոնական, ուղղահայաց կամ կենտրոնական սիմետրիկ են, և ցիկլը կկոչվի սիմետրիկ, եթե սիմետրիան հենց ինքն է: Քառակուսի ցանցերի համար «սիմետրիա» հասկացողության մեջ կհասկանանք նաև ցիկլերի ուղղահայացությունը, ինչպես նաև ուղղահայաց պատկերի սիմետրիաները: Պարզ է, որ ամենաշատը կարող են լինել 4 հատ ցիկլեր՝  $C$ ,  $C^h$ ,  $C^{nL}$ ,  $C^L$ , որոնցից ցանկացած երկուսը լինեն միմյանց սիմետրիկ (քառակուսային ցանցերի համար 8 հատ): Հետևաբար ցանցի ցիկլերի բազմությունը տրոհվում է միմյանց հետ չհատվող ենթաբազմությունների, այնպես, որ միևնույն ենթաբազմությանը պատկանող բոլոր ցիկլերը միմյանց սիմետրիկ են, իսկ տարբեր

Ենթաբազմություններից ցանկացած ցիկլեր սիմետրիկ չեն:

$T_{n,m}$  ցանցի զույգ առ զույգ ոչ սիմետրիկ ցիկլերի քանակը նշ.  $\hat{h}_m(n)$ -ով:

$$\text{Պնդում 3.12: } \hat{h}_3(n) = \begin{cases} (2^{n/2-1} + 2^{\lfloor n/4 \rfloor + 1})/4, & \text{երբ } 3n/2 \text{ կենստ է,} \\ (2^{n/2-1} + 2^{\lfloor n/4 \rfloor})/4, & \text{հ. դ.:} \end{cases}$$

⇒ Քանի որ ցանցի ցիկլերի բազմությունը տրոհվում է միմյանց հետ չհատվող ենթաբազմությունների, որոնցից յուրաքանչյուրի հզորությունը 4 - ից շատ չէ, պարզ է, որ 4 - ից փոքր կլինի այն դեպքում, երբ այդ բազմությունը կապրունակի սիմետրիկ ցիկլ: Հաշվենք այդ ցիկլերի քանակը: Քանի որ ցանցի լայնությունը՝ 3 - ը, կենստ է, հետևաբար ցանցում գոյություն չունի հորիզոնական սիմետրիկ ցիկլ(լեմմա 2): Օգտվելով  $T_{n,3}$  ցանցի համիլտոնյան ցիկլերի կառուցման եղանակից (նկ.3.10), ուղղահայաց սիմետրիկ ցիկլ կստանանք, եթե նման եղանակով ցանցի աջ կեսում կառուցենք պատկեր և միացնենք այդ պատկերը նրա ուղղահայաց առանցքով սիմետրիկ արտապատկերված պատկերին: Կառուցման այդպիսի եղանակով ցիկլերի քանակը կլինի  $2^{\lfloor n/4 \rfloor}$ : Այն դեպքում, երբ  $3n/2$  կենստ է, ստացված պատկերը միացնելով նրա կենտրոնական սիմետրիային կստանանք կենտրոնական սիմետրիկ ցիկլ, նրանց քանակը նույնպես կլինի  $2^{\lfloor n/4 \rfloor}$ : Ստացված արժեքները գումարելով ցանցի համիլտոնյան ցիկլերի քանակին և բաժանելով 4 - ի կստանանք տրոհված ենթաբազմությունների և հետևաբար ոչ սիմետրիկ ցիկլերի քանակը:←

$T_{n,m}$  ցանցի վրա  $i$  և  $j$  գագաթների հեռավորությունը կհամարենք այդ գագաթները միացնող այն շղթայի երկարությունը, որը ամենակարճն է և կնշանակենք  $d_T(i, j)$ , պարզ է որ.

$$d_T(i, j) = |\{i/n\} - \{j/n\}| + |\{i/m\} - \{j/m\}|:$$

Նույն  $i$  և  $j$  գագաթների հեռավորությունը համիլտոնյան ցիկլի վրա կհամարենք համիլտոնյան ցիկլի ուղղությամբ շարժվելիս  $i$  -ից դեպի  $j$  գագաթը միացնող շղթայի երկարությունը և կնշանակենք  $d_C(i, j)$ :

$T_{n,m}$  ցանցի  $C$  ցիկլի համար սահմանենք հետևյալ ֆունկցիան.

$$f_C^T(k) = \sum_{d_C(i, j)=k} d_T(i, j); \quad k = 1, 2, \dots, nm-1$$

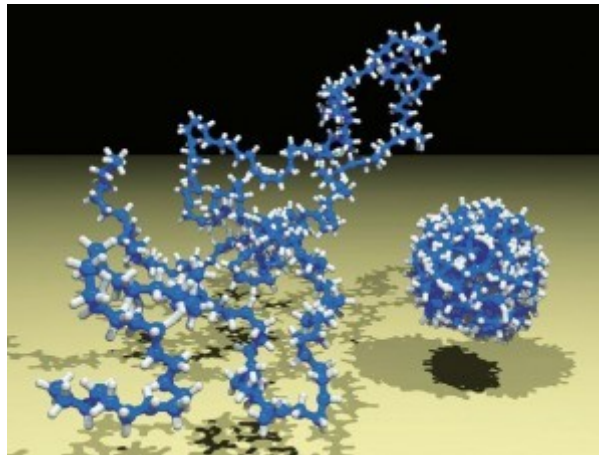
Ֆունկցիան կանվանենք ցիկլը բնութագրող ֆունկցիա: Պարզ է, որ  $f_C^T(1) = mn$ ,  $f_C^T(2) = 2mn$ ,  $f_C^T(k) = f_C^T(mn - k)$ :

Պարզ է, որ  $C'$  և  $C''$  սիմետրիկ ցիկլերի համար  $f_{C'}^T(k) = f_{C''}^T(k)$ ,  $k = 1, 2, \dots, nm-1$ :

**Հիպոթեզ:** Եթե  $f_C^T(k) = f_{C''}^T(k)$ ,  $k = 1, 2, \dots, mn-1$ , ապա  $C'$  և  $C''$  սիմետրիկ են (հատկությունը տեղի ունի  $T_{n,m}$   $m = 2, 3, 4, 5, 6$ ,  $n = 1, 2, \dots, 27$ , բոլոր ցանցերի համար: Արդյունքները ստացված են համակարգչով. հավելված):

#### 4. Կիրառությունները

Քառակուսային ցանցում համիլտոնյան ցիկլերի քանակը գտնելու խնդիրը ունի պրակտիկ կիրառում ֆիզիկայի պոլիմերներում: Պոլիմերը դա մոլեկուլային խոշոր կապակցություն է, այսինքն խոշոր մոլեկուլ (ինչպես օրինակ ներկերի մի քանի տեսակներում, պոլիստերոլ և այլն): Ընդհանուր առմամբ պոլիմերները ամենուրեք են: 60 տարի առաջ պոլիմերների ֆիզիկան դարձավ առանձին գիտական ճյուղ: Պոլիմերը հարմար է մոդելավորել պարզ շղթայի տեսքով, որի գագաթները անցնում են եռանկյուն ցանցով:



Նկ. 4.1

Բնականաբար իրական կյանքում բոլոր մակրոմոլեկուլները ուղիղ անկյունով չեն միանա, բայց պարզության համար պոլիմերային մոլեկուլը ամեն դեպքում մոդելավորվում է երկչափ քառակուսային ցանցում, քանի որ եռաչափում խնդիրը չափազանց բարդանում է:

Փաստորեն, ցանցը դա պոլիմերի նկարագրման միջավայրն է, իսկ ինքը պոլիմերը՝ ցանկացած պարզ շղթա այդ ցանցում: Եթե պոլիմերը հարմար, խիտ հավաքված է (նկ.4.1 աջից), ապա շղթան կանցնի ցանցի բոլոր գագաթներով, այսինքն կլինի համիլտոնյան, բացի դրանից շղթան կարող է փակվել ինքն իրենով, կազմելով ցիկլ: Խնդիրը կայանում է ցանցերում համիլտոնյան ցիկլերի քանակը գտնելուն, քանի որ ֆիզիկոսներին հետաքրքրում է կառուցվածքային էնտրոպիան, որի օգնությամբ կարելի է ստանալ զանազան կառուցվածքի հատկություններ: Ավելի կոնկրետ, այդ դեպքում էնտրոպիան հավասար է պոլիմերների բոլոր հնարավոր եղանակներով բաշխման քանակի լոգարիթմին, այսինքն բոլոր ցիկլերի քանակին:

## 5. Հավելված

### 5.1. Քառակուսային ցանցում կմախքային ծառերի, ցիկլերի քանակի և նրանց մետրիկական բնութքիչների հաշվման ալգորիթմներ

Աշխատանքում ցիկլերի քանակի հաշվման համար օգտագործված են հետևյալ ալգորիթմները.

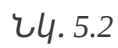
1. ըստ խորության փնտրումներ[15]
2. ըստ լայնության փնտրումներ[16]
3. Դինամիկ ծրագրավորման մեթոդ(մատրիցային մեթոդ և առանց մատրիցի)[17]

Ընդհանուր դեպքում ծրագիրը աշխատում է փնտրում ըստ խորության` և ըստ լայնության ալգորիթմներով: Սակայն ալգորիթմները ժամանակատար են և հարմար չեն մեծարժեք մուտքային տվյալների համար(օրինակ  $4 \times 2200 \text{Hz}$  միջուկային պրոցեսորներով համակարգչով ծրագիրը  $12 \times 12$  քառակուսային ցանցում համիլտոնյան ցիկլերի քանակը, որն է`  $1076226888605605706$ , գտնում է  $37000$  թույլտվում( $\approx 26$  օր)): Հետևաբար օգտագործվում է դինամիկ ծրագրավորման մեթոդը: Ցանցից կառուցվում է վերջավոր աֆտոմատ այնպես, որ  $T_{n,m}$  ցանցի համիլտոնյանց ցիկլերի քանակը լինի աֆտոմատի սկզբնական վիճակից մինչև վերջնական վիճակ  $n$  քայլում հասնելու բոլոր հնարավոր եղանակները: Դրա համար կա երկու տարբերակ, փոխանցման մատրիցով և առանց դրա: Երկրորդ դեպքում ալգորիթմի բարդությունը  $O(6^m \sqrt{mn})$  է: Առաջին դեպքում եթե աֆտոմատի մատրիցան  $A = nxn$  է, ապա բավական է հաշվել  $A^n$ , և վերծնել  $A(1,n)$  էլեմենտը:  $A^n$  - ը հաշվվում է զուգահեռ` օգտագործելով CUDA զուգահեռ ծրագրավորման լեզուն: (Ծրագրի աշխատանքի համար անհրաժեշտ է NVIDIA videocard:) Մատրիցների բազմապատկում գործողությունը հնարավոր է զուգահեռացնել է  $n^2$  անգամ: Հետևաբար ալգորիթմի ժամանակային բարդությունը կախված համակարգչի հնարավորությունից կլինի  $n \log n$  :

Ծրագիրը բաղկացած է երեք մասից: Սկզբում այն գտնում է ցանցի բոլոր համիլտոնյանց ցիկլերի բազմությունը, ստացված բազմության համար գտնում մինիմալ հեռավորությամբ ցիկլերը, և գտնում այդ բազմությունից բոլոր այն ցիկլերը, որոնք ունեն մինիմալ հեռավորություն: Հաշվում է այդ բազմության բոլոր ցիկլերի բնութագրող ֆունկցիաները: Այն ցիկլերի վրա, որոնց համար այդ ֆունկցիաների արժեքները բոլոր ինդեքսների համար հավասար են, ստուգում է այդ ցիկլերի սիմետրիկությունը: Գտնում է բոլոր ոչ սիմետրիկ ցիկլերը և որպես ելք տալիս է այդ ցիկլերի բազմությունը, ինչպես նաև ցանցի համար Կիրխոֆի մատրիցը: Ծրագրի վերջին մասը աշխատում է Octave գրադարանով: Հաշվում է Կիրխոֆի մատրիցի հանրահաշվական լրացման դետերմինանտը( հիշենք, որ այն ցանցի կմախքային ծառերի քանակն է), և արտածում է ոչ սիմետրիկ ցիկլերի բնութագրող ֆունկցիաները(նկ.5.1,  $T_{10,3}$  ցանցի համար) և դրանց գրաֆիկները(նկ.5.2):



### U4.5.1



## 5.2. Արդյունքներ

Քառակուսային ցանցերի համար ստացված են հետևյալ արդյունքները.

### Համիլտոնյան ցիկլերի քանակի համար.

4 x n ցանցում - 1, 2, 6, 14, 37, 92, 236, 596, 1517, 3846, 9770, 24794, 62953, 159800, 405688, 1029864, 2614457, 6637066, 16849006, 42773094, 108584525, 275654292, 699780452, 1776473532, 4509783909, 11448608270, 29063617746

5 x 2n ցանցում - 1, 14, 154, 1696, 18684, 205832, 2267544, 24980352, 275195536, 3031685984, 33398506528, 367933962880, 4053336963648, 44653503613184

6 x n ցանցում - 1, 4, 37, 154, 1072, 5320, 32675, 175294, 1024028, 5668692, 32463802, 181971848, 1033917350, 5824476298, 32989068162, 186210666468, 1053349394128, 5950467515104:

10 x n ցանցում - 1, 16, 1517, 18684, 1024028, 17066492, 681728204, 13916993782, 467260456608, 10754797724124, 328076475659033, 8091313110371792:

2n x 2n ցանցում - 1, 6, 1072, 4638576, 467260456608, 1076226888605605706:

### Կմախքային ժառերի քանակի համար.

2 x n ցանցում - 1, 4, 15, 56, 209, 780, 2911, 10864, 40545, 151316, 564719, 2107560, 7865521, 29354524, 109552575, 408855776, 1525870529, 5694626340, 21252634831, 79315912984, 296011017105, 1104728155436, 4122901604639, 15386878263120

3 x n ցանցում - 1, 15, 192, 2415, 30305, 380160, 4768673, 59817135, 750331584, 9411975375, 118061508289, 1480934568960, 18576479568193, 233018797965135, 2922930580320960

4 x n ցանցում - 1, 56, 2415, 100352, 4140081, 170537640, 7022359583, 289143013376, 11905151192865, 490179860527896:

5 x n ցանցում - 1, 209, 30305, 4140081, 557568000, 74795194705, 10021992194369, 1342421467113969

n x n ցանցում - 1, 4, 192, 100352, 557568000, 32565539635200, 19872369301840986112,



## 6. Ծրագիր

makefile

```
CC = gcc
CXX = g++
LINK = g++
MKDIR = mkdir -p
DEL_FILE = rm -f
DEL_DIR = rmdir
SOURCES := $(wildcard src/*.cpp)
OBJECTS := $(patsubst src/%.cpp,obj/%.o,$(SOURCES))
DEPENDS := $(patsubst src/%.cpp,obj/%.dep,$(SOURCES))
bin/program: ./bin $(OBJECTS) bin/out
    echo "./bin/out" > ./bin/program
    echo "octave ./octave/octave.m" >> ./bin/program
    chmod 777 ./bin/program
bin/out:
    $(LINK) $(OBJECTS) -o bin/out
./bin :
    mkdir -p bin
obj/%.o : src/%.cpp
    $(CXX) -c $< -o $@
obj/%.dep : src/%.cpp ./obj
    $(CXX) -MM $< -MT "$@ $(patsubst %.dep,%.o,$@)" -MF $@
./obj:
    mkdir -p obj
.PHONY : clean
clean:
    $(DEL_FILE) bin/*
    $(DEL_DIR) bin
    $(DEL_FILE) obj/*
    $(DEL_DIR) obj
-include $(DEPENDS)
```

main.cpp

```
#include "functions.hpp"
#include <iostream>

int main()
{
    int M, N;
    std::cout << "Enter count of rows  ";
    std::cin >> M;
    std::cout << "Enter count of columns ";
    std::cin >> N;
    std::cout << std::endl
        << " P" << N << " x P" << M << " grid graph "
        << std::endl;
    generate_ham_cycle(M, N, 1);
    return 0;
}
```

## functions.hpp

```
#ifndef _FUNCTIONS_HPP_
#define _FUNCTIONS_HPP_

#include <vector>

//print hamiltonian loop in grid
void print_vector_in_grid(std::vector<int> &, int);

//distance between two cycles
int distance(int, int);

//print hamiltonian loop
void print_vector(std::vector<int> &);

//generate hamiltonian cycles
//int generate_ham_cycle_helper(int, int&, std::vector<int> &);
int generate_ham_cycle_helper(int, int&, std::vector<int> &, int** &, const bool* &, int&, int&);

//generate non simetric matrix for mxn grid
void generate_grid_matrix(int** &, int, int);

//visit generate_ham_cycle_helper
void generate_ham_cycle(int, int, int = 1);

#endif//_FUNCTIONS_HPP_
```

## functions.cpp

```
#include "functions.hpp"
#include <iostream>
#include <fstream>
#include <iomanip>
#include <cmath>

std::vector< std::vector<int> > > cycles;
std::ofstream fout;

//characteristic function of hamiltonian cycle
long long unsigned int charac_function(std::vector<int> &mas, std::vector<int>
&f, int column)
{
    int index = 0;
    int result = 0;
    int horilength = 0;
    int vertlength = 0;
    int sum = 0;
    int size = mas.size();
    f.clear();
```

```

for(int i = 1; i <= size / 2; ++i){ // ciklum i erkarutyamb
    //std::cout << " f(" << setw(2) << i << ") " << "= ";
    for(int j = 0; j < size; ++j) { // hertov cikli j-rd elementic i
erkarutyamb
        vertlength = fabs((mas[(j + i)%size] / column) - (mas[j] / column));
        horilength = fabs((mas[(j + i)%size] % column) - (mas[j] %
column));
        result += vertlength + horilength;
        //std::cout << setw(2) << vertlength + horilength << "+";
    }
    //std::cout << "\b = " << result << ";" << std::endl;
    //fout << ' ' << result << std::endl;
    f.push_back(result);
    sum += result;
    result = 0;
}
return sum;
//std::cout << sum << std::endl;
}
//print hamiltonian loop in grid
void print_vector_in_grid(std::vector<int> &mas, int column)
{
    const char* ch1 = "____";
    char ch2 = '|';
    int size = mas.size();
    int row = size / column;
    std::cout << std::endl << "\t";
    for(int i = 1; i <= size; ++i){
        //std::cout << std::setw(3) << i;
        std::cout << ' ';
        if(i % column == 0) {
            std::cout << std::endl << "\t";
            if( i / column != row ) {
                for(int j = 0; j < column; ++j) {
                    //std::cout << std::setw(3);
                    for(int k = 0; k < size; ++k) {
                        if(mas[k] == i - column + j) {
                            if((k > 0 && mas[k-1] == i + j) ||
                                (k < size-1 && mas[k+1] == i + j) ||
                                (k == 0 && mas[size-1] == i + j)) {
                                std::cout << ch2 << " ";
                            }
                        }
                        else {
                            //std::cout << " ";
                            std::cout << " ";
                        }
                        break;
                    }
                }
            }
        }
        //std::cout << " ";
    }
}

```

```

        std::cout << " ";
    }
}
std::cout << std::endl << "\t";
}
else {
    //std::cout << ' ';
    for(int j = 0; j < size; ++j) {
        if(mas[j] == i - 1) {
            if((j > 0 && mas[j-1] == i) ||
               (j < size-1 && mas[j+1] == i)) {
                std::cout << ch1;
            }
            else {
                //std::cout << ' ';
                std::cout << " ";
            }
            break;
        }
    }
}
}
std::cout << std::endl;
}
//distance between two cycles
int distance(int c1, int c2)
{
    int t = cycles[c1].size() - 1;
    if(c1 == c2) {
        return t + 1;
    }
    int c = 2;
    for(int i = 1; i < t; ++i){
        for(int j = 1; j < t; ++j){
            if(cycles[c1][i] == cycles[c2][j]){
                if(cycles[c1][i+1] == cycles[c2][j+1] || cycles[c1][i+1] ==
cycles[c2][j-1]) {
                    ++c;
                }
                break;
            }
        }
    }
    return c;
}
}
//print hamiltonian loop
void print_vector(std::vector<int> &myvector)
{
    int t = myvector.size();

```

```

        for(int i = 0; i < t; ++i){
            std::cout << std::setw(3) << myvector[i] + 1 << ' ';
        }
        std::cout << std::endl;
    }

//print characteristic function of hamiltonian cycle
void print_function(std::vector<int> &f)
{
    int t = f.size();
    for(int i = 0; i < t; ++i){
        std::cout << " f(" << std::setw(2) << i + 1 << ") " << "= " << f[i] << " ";
    }
    std::cout << std::endl;
}

//print characteristic function of hamiltonian loop to file functions.in for the
octave code
void print_function_to_file(std::vector<int> &myvector)
{
    int t = myvector.size();
    for(int i = 0; i < t; ++i){
        fout << std::setw(3) << myvector[i] << ' ';
    }
    fout << std::endl;
}

//Verify function's value for cycles
bool if_equal(std::vector<int> &f1, std::vector<int> &f2)
{
    int t = f1.size();
    bool b = true;
    for(int i = 0; i < t; ++i){
        if(f1[i] != f2[i]){
            b = false;
        }
    }
    return b;
}

//generate hamiltonian cycles
int generate_ham_cycle_helper(int v, int& w, std::vector<int> &myvector, int**
&matrix, bool* &visit, int& size, int& column)
{
    //static long long unsigned int cycle_count = 0; // count of hamiltonyan
cycles
    if(myvector.size() == size && matrix[myvector.back()][w] == 1){
        //visit print_vector for hamiltonyan cycle
        //print_vector(myvector);
        cycles.push_back(myvector);
    }
}

```

```

        //++cycle_count;
        //std::cout << "-----> " << cycle_count << " <-----" << std::endl;
    }
    //visit[v] = true;
    //for(int i = 0; i < size; ++i){          // optimize, not on all size
    //    if(matrix[v][i] && !visit[i]){
    //        myvector.push_back(i);
    //        generate_ham_cycle_helper(i, w, myvector);
    //    }
    //}
    //visit[v] = false;
    //myvector.pop_back();
    visit[v] = true;
    if(v && matrix[v][v - 1] && !visit[v - 1]) {
        myvector.push_back(v - 1);
        //generate_ham_cycle_helper(v - 1, w, myvector);
        generate_ham_cycle_helper(v - 1, w, myvector, matrix, visit, size,
column);
        myvector.pop_back();
    }
    if(v >= column && matrix[v][v - column] && !visit[v - column]) {
        myvector.push_back(v - column);
        //generate_ham_cycle_helper(v - column, w, myvector);
        generate_ham_cycle_helper(v - column, w, myvector, matrix, visit,
size, column);
        myvector.pop_back();
    }
    if(v != size - 1 && matrix[v][v + 1] && !visit[v + 1]) {
        myvector.push_back(v + 1);
        //generate_ham_cycle_helper(v + 1, w, myvector);
        generate_ham_cycle_helper(v + 1, w, myvector, matrix, visit, size,
column);
        myvector.pop_back();
    }
    if(v + column < size && matrix[v][v + column] && !visit[v + column]) {
        myvector.push_back(v + column);
        //generate_ham_cycle_helper(v + column, w, myvector);
        generate_ham_cycle_helper(v + column, w, myvector, matrix, visit,
size, column);
        myvector.pop_back();
    }
    visit[v] = false;
    //return cycle_count; // return count of hamiltonyan cycles
        // return (cycle_count / 2)
        // when the matrix is simetrical;

    return 0;
}

// generate non simetric matrix for mxn grid
void generate_grid_matrix(int** &matrix, int m, int n)

```

```

{
    int size = m * n;
    matrix = new int* [size];
    for(int i = 0; i < size; ++i){
        matrix[i] = new int [size];
    }
    for(int i = 0; i < size; ++i){
        for(int j = 0; j < size; ++j){
            matrix[i][j] = 0;
        }
    }
    for(int s, e, j = 0; j < m; ++j){
        s = j * n;
        e = j * n + n - 1;
        for(int i = s; i < e; ++i){
            matrix[i][i + 1] = 1;
            matrix[i + 1][i] = 1;
        }
    }
    for(int i = 0; i < size - n; ++i){
        matrix[i][i + n] = 1;
        matrix[i + n][i] = 1;
    }
    matrix[0][n] = 0;    // for non simetrical matrix
}

```

```

// visit generate_ham_cycles_helper
void generate_ham_cycle(int m, int n, int v)
{
    int size = m * n;
    int column = n;
    int** matrix;
    generate_grid_matrix(matrix, m, n);
    //////////////////////////////////////
    fout.open("cuda/matrix.in");
    fout << " " << size << std::endl;
    for(int i = 0; i < size; ++i){
        for(int j = 0; j < size; ++j){
            fout << std::setw(3) << matrix[i][j];
        }
        fout << std::endl;
    }
    fout.close();
    fout.clear();
    //////////////////////////////////////
    //print adjacency matrix for grid graph
    //for(int i = 0; i < size; ++i){
    //    for(int j = 0; j < size; ++j){
    //        std::cout << matrix[i][j] << ' ';
    //        //std::cout << matrix[i][j] << ", ";
    //    }
    //}
}

```

```

//    }
//    std::cout << std::endl;
//}
////////////////////////////////////
bool* visit; // = {0,};
visit = new bool[size];
for(int i = 0; i < size; ++i){
    visit[i] = false;
}

int w = v - 1;           // starting node of hamiltonian cycle
std::vector<int> myvector;
myvector.push_back(w);   // start of hamiltonian cycle
std::cout << std::endl;
generate_ham_cycle_helper(w, w, myvector, matrix, visit, size, column);
std::cout << " Count of HAMILTONIAN CYCLES " << cycles.size() <<
std::endl << std::endl;
//std::cout << "\nCount of HAMILTONIAN CYCLES = "
//    << generate_ham_cycle_helper(w, w, myvector, matrix, visit, size,
column)
//    << std::endl << std::endl;
//print all hamiltonian cycles
//for(int i = 0; i < cycles.size(); ++i){
//    print_vector(cycles[i]);
//}
int s = cycles.size();
if(s) {
    int t,c1,c2;
    int min = distance(0, 0);
    long unsigned int sum1 = 0;
    long unsigned int sum2 = 0;
    std::vector<int> f1;
    std::vector<int> f2;
    c1 = 0;
    c2 = 0;
    //variables for non simetrical cycles
    bool b = true;
    unsigned int count = 0;
    fout.open("octave/functions.in");
    for(int i = 0; i < s; ++i){
        //sum and f1 functions of C1 cycle
        sum1 = charac_function(cycles[i], f1, column);
        for(int j = i + 1; j < s; ++j){
            //sum and f2 functions of C2 cycle
            sum2 = charac_function(cycles[j], f2, column);
            if(if_equal(f1, f2)){
                b = false;
            }
            // print cycles, which function are equaly
            //    print_function(f1);
            //    print_vector_in_grid(cycles[i], column);

```



```

        //      print_vector_in_grid(cycles[j], column);
    }
    t = distance(i,j);
    if(min > t){
        min = t;
        c1 = i;
        c2 = j;
    }
}
if(b) {
    //print non charac. functions to file functions.in
    print_function_to_file(f1);
    ++count;
}
b = true;
}
fout.close();
fout.clear();
std::cout << " Count of non simetrical HAMILTONIAN CYCLES "
    << count << std::endl << std::endl;
std::cout << " nm " << size << std::endl;
std::cout << " min distance " << min << std::endl;
std::cout << " max distance " << 2 * size - 2 * min << std::endl;
//print_vector(cycles[c1]);
//print_vector(cycles[c2]);
print_vector_in_grid(cycles[c1], column);
print_vector_in_grid(cycles[c2], column);
//for(int i = 0; i < s; ++i){
//    for(int j = i + 1; j < s; ++j){
//        t = distance(i,j);
//        if(min == t){
//            std::cout << "////////////////////////////////////" <<
std::endl;
//            print_vector_in_grid(cycles[i], column);
//            print_vector_in_grid(cycles[j], column);
//        }
//    }
//}
}
////////////////////////////////////
std::cout << " Generated" << std::endl;
std::cout << " Adjacency matrix to file          cuda/matrix.in" << std::endl;
std::cout << " Characteristic functions of loops to file octave/functions.in"
<< std::endl;
//generate Kirchhorff matrix
for(int i = 0; i < size; ++i){
    for(int j = 0; j < size; ++j){
        matrix[i][j] = -matrix[i][j];
    }
}
}

```

```

matrix[0][n] = -1;
matrix[0][0] = 2;
matrix[n - 1][n - 1] = 2;
matrix[size - n][size - n] = 2;
matrix[size - 1][size - 1] = 2;
for(int i = 1; i < n-1; ++i){
    matrix[i][i] = 3;
    matrix[size - i - 1][size - i - 1] = 3;
}
for(int i = 1; i < m - 1; ++i){
    matrix[i * n][i * n] = 3;
    matrix[n + i * n - 1][n + i * n - 1] = 3;
}
for(int i = 1; i < m - 1; ++i){
    for(int j = 1; j < n - 1; ++j){
        matrix[i * n + j][i * n + j] = 4;
    }
}
fout.open("octave/matrix.in");
for(int i = 0; i < size; ++i){
    for(int j = 0; j < size; ++j){
        fout << std::setw(3) << matrix[i][j];
    }
    fout << std::endl;
}
fout.close();
fout.clear();
std::cout << " Kirchhorff matrix to file          octave/matrix.in" << std::endl
<< std::endl;
////////////////////////////////////
for(int i = 0; i < size; ++i){
    delete [] matrix[i];
}
delete [] matrix;
}

```

```

                                octave.m
#number of spanning trees of grid graph
load octave/matrix.in
format long;
d = det(matrix(1:length(matrix)-1,1:length(matrix)-1));
printf("Count of spanning trees of grid graph = %i\n", d);
#det(matrix(2:length(matrix),2:length(matrix)))
#det(matrix(1:length(matrix)-1,2:length(matrix)))
#det(matrix(2:length(matrix),1:length(matrix)-1))
nm = length(matrix);
m = 2;
n = 2;
for i = 3:nm
    if( matrix(1,i) == -1 )

```

```

        n = i - 1;
        m = nm / n;
        break;
    endif
    if( matrix(i,1) == -1)
        m = i - 1;
        n = nm / m;
        break;
    endif
endfor

#print graphics of characteristic functions for hamiltonian loops
figure;
hold on;
grid on;
ylabel("Fc(k)");
tit = strcat("n=", num2str(n));
tit = strcat(tit, ", m=");
tit = strcat(tit, num2str(m));
title(tit);
load octave/functions.in
[m n] = size(functions);
axis([1 n]);
color = [" - red,"," - green,"," - blue,"," - magenta,"," - cyan,"," - brown,"];
xlab = "k\n";
if( m < 8 )
    for i = 1:m
        xlab = strcat(xlab, strcat(" loop", num2str(i)));
        xlab = strcat(xlab, color(i,:));
    endfor
else
    str = strcat("number of graphics=", num2str(m));
    xlab = strcat(xlab, str);
endif
xlabel(xlab);

col = "rgbmcb"; # red, green, blue, magenta, cyan, brown
for i = 1:m
    color = col( mod(i - 1, 6) + 1);
    opt = strcat(color, "o-.");
    plot(functions(i,:), opt);
endfor
pause;

```

```
//Header from standard libraries
#include <fstream>
```

```
//size of blocks in grid
#define BLOCK_SIZE 16
```

```
//kernel function to multiply c=a*b
__global__ void Muld(float* a,float* b,float* c,int n)
{
```

```
    int i = blockIdx.x * blockDim.x + threadIdx.x;
    int j = blockIdx.y * blockDim.y + threadIdx.y;
```

```
    float sum = 0;
```

```
    if(i>=n || j>=n){
        return;
    }
```

```
    for(int k = 0 ; k < n ; ++k) {
        sum = sum + a[i*n + k]*b[k*n + j];
    }
```

```
    c[i*n+j] = sum;
}
```

```
//host function to multiply C=A*B
void Mul(float* A, float* B, int n,float* C)
{
```

```
    int size;
    // Load A and B to the device
    float* Ad;
    size = n * n * sizeof(float);
    cudaMalloc((void**)&Ad, size);
    cudaMemcpy(Ad, A, size, cudaMemcpyHostToDevice);
    float* Bd;
    size = n * n * sizeof(float);
    cudaMalloc((void**)&Bd, size);
    cudaMemcpy(Bd, B, size, cudaMemcpyHostToDevice);
    // Allocate C on the device
    float* Cd;
    size = n * n * sizeof(float);
    cudaMalloc((void**)&Cd, size);
    // Compute the execution configuration assuming
    // the matrix dimensions are multiples of BLOCK_SIZE
    dim3 dimBlock(BLOCK_SIZE, BLOCK_SIZE);
    dim3 dimGrid(n / dimBlock.x + (n%dimBlock.x!=0), n / dimBlock.y+(n
%dimBlock.y!=0));
    // Launch the device computation
    Muld<<<dimGrid, dimBlock>>>(Ad, Bd, Cd , n);
```

```

    // Read C from the device
    cudaMemcpy(C, Cd, size, cudaMemcpyDeviceToHost);
    // Free device memory
    cudaFree(Ad);
    cudaFree(Bd);
    cudaFree(Cd);
}

int main(int argc, char* argv[])
{
    std::ifstream fin(argv[1]);
    std::ofstream fout("out.txt");
    int n;
    fin >> n;
    float *hA = (float*)malloc(sizeof(float)*n*n);
    float *hB = (float*)malloc(sizeof(float)*n*n);
    for(int i = 0; i < n; ++i) {
        for(int j = 0; j < n; ++j) {
            fin >> hA[i*n+j];
        }
    }
    for(int i = 0; i < n; ++i) {
        for(int j = 0; j < n; ++j) {
            hB[i*n+j] = 0;
        }
        hB[i*n+i] = 1;
    }
    // in case, when count of input matrix > 1
    // hC = hA * hB;
    // Mul(hA, hB, n, hC);
    for(int i = 2; i <= n; i <= 1) {
        Mul(hA, hA, n, hA);
        if(i & n) {
            Mul(hA, hB, n, hB);
        }
    }
    for(int i = 0; i < n; ++i) {
        for(int j = 0; j < n; ++j) {
            fout << hB[i*n+j] << ' ';
        }
        fout << std::endl;
    }
    free(hA);
    free(hB);
    return 0;
}

```

## 7. Գրականություն

- [1]. Н о в и к о в , Ф . А . Дискретная математика для программистов  
Ф. А. Новиков. – СПб.: Питер, 2001. – с.
- [2]. К р и с т о ф и д е с , Н . Теория графов. Алгоритмический подход  
Н. Кристофидес. – М.: Мир, 1978. – с.
- [3]. К о р м е н , Т . Алгоритмы. Построение и анализ  
Т. Кормен, Ч. Лейзер, Р. Ривест. МЦНМО, Москва, 1999. – с.
- [4]. А х о , А . Структуры данных и алгоритмы  
А. Ахо, Дж. Хопкрофт, Дж. Ульман. – М.: Вильямс, 2000. – с.
- [5]. Р е й н г о л ь д Э . Комбинаторные алгоритмы / Э. Рейнгольд,  
Ю. Нивергельт, Н. Део. – М.: Мир, 1980. – с.
- [6]. Харари Ф. Теория графов. — М.: Мир, 1973.
- [7]. Беллман Р. Динамическое программирование. — М.: Изд-во иностранной  
литературы, 1960.
- [8]. Лекции по теории графов / Емеличев В.А., Мельников О.И., Сарванов В.И.,  
Тышкевич Р.И. – М.: Наука, 1990.
- [10]. Зыков А.А. Основы теории графов. – М.: Наука, 1987.
- [11]. Татт У. Теория графов. – М.: Наука, 1988.
- [12]. Воблый В.А. Простая верхняя оценка для числа остовных деревьев  
регулярных графов. Дискретная математика, т. 20, вып. 3, 2008 ,
- [13]. <http://www.intuit.ru/department/algorithms/algocombi/8/1.html> (Алгоритмы  
рекуррентных соотношений)
- [14]. <http://www.genfunc.ru/theory/rsol/> (Решение рекуррентных соотношений)
- [15]. <http://rriai.org.ru/poisk-v-glubinu.html> (Поиск в глубину )
- [16]. <http://rriai.org.ru/poisk-v-shirinu-3.html> (Поиск в ширину )
- [17]. <http://habrahabr.ru/blogs/algorithm/105705/> (Метод динамического  
программирования)